

分类号：_____(按中国图书分类法)

单位代码：10636_____

密 级：(注明密级与保密期限)_____

学 号：_____

四川师范大学

硕士学位论文



中文论文题目：具有瀑布特征的可信虚拟平台信任链模型及其分析方法

英文论文题目：Research on the Trust Chain Model with Waterfall Characteristic and its Analysis Methods Based on the Trusted Virtualization Platform

论文作者：_____齐能_____

指导教师：_____谭良_____

专业名称：_____信息安全_____

研究方向：_____可信计算_____

所在学院：_____计算机科学学院_____

论文提交日期：_____ 年 月 日_____

论文答辩日期：_____ 年 月 日_____

本人承诺：已提交的学位论文电子版与论文纸本的内容一致。如因不符而引起的学术声誉上的损失由本人自负。

学位论文作者: 签字日期: 年 月 日

四川师范大学学位论文版权使用授权书

学校作为申请学位的条件之一，学位论文著作权拥有者须授权所在大学拥有学位论文的部分使用权，即：1) 已获学位的研究生必须按学校规定提交印刷版和电子版学位论文，可以将学位论文的全部或部分内容编入有关数据库供检索；2) 为教学、科研和学术交流目的，学校可以将公开的学位论文或解密后的学位论文作为资料在图书馆、资料室等场所或在有关网络上供阅读、浏览。

本人授权万方数据电子出版社将本学位论文收录到《中国学位论文全文数据库》，并通过网络向社会公众提供信息服务。同意按相关规定享受相关权益。

(保密的学位论文在解密后适用本授权书)

学位论文作者签名: 导师签名:

签字日期: 年 月 日 签字日期: 年 月 日

具有瀑布特征的可信虚拟平台信任链模型及其分析方法

信息安全专业

研究生 齐能 指导教师 谭良

摘要 将虚拟化技术与可信计算相结合构建的可信虚拟平台及其信任链模型是目前的一个研究热点。目前大部分的研究成果是采用在虚拟平台上扩展传统信任链的构建方法，不仅模型过粗且逻辑不完全合理，而且还存在底层虚拟化平台和顶层用户虚拟机两条分离的信任链问题。并且目前的无干扰理论形式化方法只定义了动作所属域，没有针对云环境下系统动作的主体等进行定义，不能完全适用于云计算环境下的信任链传递模型。

为此，本文首先提出了一种具有瀑布特征的可信虚拟平台架构，该可信虚拟平台在层次上添加了可信衔接点层次，主要由虚拟机构建模块、虚拟可信平台模块构建模块、虚拟机和其虚拟可信平台模块绑定模块组成。当可信虚拟平台启动时，不仅可以以静态度量方式参与底层虚拟化平台的启动，也可以和虚拟可信模块共同作为虚拟机启动动态度量的虚拟可信根。在该可信虚拟平台中，可信衔接点具有承上启下的瀑布特征，把底层虚拟化平台的启动输出作为虚拟机启动的度量输入，类似于软件设计中的瀑布特征。然后基于上述可信虚拟平台架构构建了信任链模型，该模型以硬件 TPM 为起点，在底层虚拟化平台和顶层用户虚拟机信任链之间加入可信衔接点。当信任链从底层虚拟化平台传递到可信衔接点时，由可信衔接点负责对用户虚拟机的 vTPM 进行度量，之后将控制权交给 vTPM，由 vTPM 负责对用户虚拟机启动的组件及应用进行度量。该模型中可信衔接点具有承上启下的瀑布特征，能满足虚拟化环境的层次性和动态性特征，保证了整个可信虚拟平台的可信性。基于 Xen 的信任链构建的实验结果表明本信任链传递方法可以保证可信虚拟化环境在整个运行过程是安全可信的。

然后，本文基于安全系统逻辑的形式化分析也证明了该信任链模型的安全性，分别对底层物理平台、可信衔接点等层次的本地验证以及远程证明的形式分析，证明了本文信任链模型的可靠性和安全性。最后，本文提出了一种扩展无干扰的信任链形式化方法，针对目前的非传递无干扰理论均没有考虑到云计算运行中时的安全域、动作所属

主体以及动作对安全域和系统状态的影响进行详细的说明,对无干扰理论在安全域动作所属主体等进行详细的扩展,并定义了云计算环境下的非传递无干扰安全定理,结合上述可信虚拟平台和信任链对无干扰进行了实例验证。

关键词: 可信计算 云计算 信任链 无干扰 安全系统逻辑

Research on the Trust Chain Model with Waterfall Characteristic and its Analysis Methods Based on the Trusted Virtualization Platform

Major: Information Security

Postgraduate student: Qi Neng **Tutor:** Tan Liang

ABSTRACT The trusted virtual platform which is constructed by the combination of virtualization technology and trusted computing and its trust chain have become one of the key focuses in the researched fields. But at present, most of the researching achievements construct the trust chain by extending the conventional trust chain model, as a result, the model is not precise and the logic is not completely reasonable. Moreover, two separate trust chains have existed, one is starting of the underlying virtual platform, and the other is the starting of the top-level user virtual machine. And no interference theory formalism method defines the action only belongs to the domain. And something belong to the cloud environment are not defined, such as the system action subject So it cannot be fully applicable to trust chain model under the cloud computing environment.

In order to solve this problem, this paper proposes a trusted virtual platform which has the characteristic of the waterfall. The trusted virtual platform add a trusted joined point, which is mainly built by virtual mechanism module, virtual trusted platform module build module, the virtual machine and its virtual trusted platform module of binding modules. When trusted virtual platform to start, not only can participated in the underlying virtualization platform in static measure, but also can be together as a virtual machine and virtual trusted module launch dynamic measurement of virtual trusted root. In the trusted virtual platform, the trusted connection point has a waterfall feature, which forms a connecting link between the preceding and the underlying virtualization

platform to start the output as the measurement of the virtual machine to start input, which like the waterfall in the software design features. Then this paper build the trust chain model based on the trusted virtual platform. This model starts with the physical TPM, and increases a Trusted-Joint Point called TJP between the chain of the underlying virtual platform and the chain of the top-level user VM. The TJP is in charge of the measurement of vTPM for VM after the trusted chain is transmitted from the underlying virtual platform to the TJP, and then the vTPM gets the control, and is in charge of the measurement of the related components and applications of the top-level user VM in the starting process. The TJP which has the waterfall characteristic between the underlying virtual platform and the top-level user VM can be viewed as a connecting link, and it can satisfy with the hierarchical and dynamic characteristics of the virtual platform, moreover guarantee the trust of the whole virtual platform. This trusted virtual platform is implemented on the Xen platform, the experimental results based on Xen show that this trust chain transfer method can guarantee that the trusted virtualization environment is safe and reliable in the whole operation process.

Then, this paper proves the safety of trust chain model based on the formal analysis of security system logic, which mainly contain underlying physical platform and credible connecting point, and level of validation and remote proof in the form of local analysis. All of them can prove the reliability and security of the trust chain model.

Finally this paper proposes a trust chain formalism method, based on the extension of no interference theory. According to the present no interference theory don't consider the security domain of the main body, action and the action of security domain and the influence of the system state to carry on the detailed instructions when the cloud environment in running. Subject to no interference theory in security domain action belongs to such as extension in detail, and defined the cloud computing environment is not passed no interference security theorem, combined with the virtual platform and credible trust chain for instance verification without interference.

Key Words: trusted computing; cloud computing; trusted chain; no interference theory; logic of safety system

插图和附表清单

图 1.1 TVP 基本运行架构.....	4
图 2.1 虚拟机与 VMM 基本结构.....	13
图 3.1 TVP-QT 运行架构.....	21
表 3.1 TJP 功能组件来源.....	23
图 3.2 虚拟化平台可信环境信任链构建与验证.....	24
图 3.3 基于 Xen 的 TVP-QT 系统.....	26
表 3.2 物理平台 (Dom0) 和用户虚拟机 (DomU-Ubuntu) 配置.....	29
图 3.4 DomU-Ubuntu 配置部分参数.....	29
图 3.5 Ubuntu vTPM 实例配置部分参数.....	30
图 3.6 vTPMManager 配置文件部分参数.....	30
表 3.3 仿真实验 PCR 存储简述.....	31
图 3.7 信任链 PCR 信息.....	32
图 3.8 修改 VM 配置文件后的 PCR 信息.....	32
图 3.9 m 信任链构建时间.....	33
图 3.10 vm 信任链构建时间.....	34
图 4.1 TVP-QT 中 m 信任链传递.....	36
图 4.2 TVP-QT 中 m 信任传递的远程验证程序.....	40
图 4.3 TVP-QT 中 TJP 信任链传递.....	43
图 4.4 TVP-QT 中 m 信任传递的远程验证程序.....	45

目录

摘要.....	I
ABSTRACT.....	I
插图和附表清单.....	III
目录.....	V
1 绪论.....	1
1.1 研究背景及意义.....	1
1.2 国内外研究现状.....	3
1.2.1 可信虚拟平台架构.....	4
1.2.2 可信虚拟平台信任链模型.....	5
1.2.3 无干扰理论.....	7
1.3 本文主要工作.....	8
1.4 论文组织结构.....	9
2 相关技术与理论.....	11
2.1 虚拟化技术.....	11
2.1.1 虚拟化技术分类.....	11
2.1.2 虚拟机与虚拟机监视器.....	12
2.1.3 Xen 与 KVM.....	13
2.2 可信计算.....	14
2.2.1 可信平台模块.....	14
2.2.2 信任链技术.....	15
2.2.3 可信计算模块虚拟化.....	16
2.3 形式化分析方法.....	17
2.3.1 无干扰理论.....	17
2.3.2 安全系统逻辑理论.....	18
2.4 本章小结.....	18
3 具有瀑布特征的 TVP 架构及信任链模型.....	21
3.1 TVP-QT 系统结构.....	21
3.2 TVP-QT 信任链及属性.....	23
3.3 基于 Xen 的实例系统分析与讨论.....	26
3.4 实验及结果分析.....	28
3.4.1 实验环境.....	28
3.4.2 TVP-QT 信任链构建.....	30
3.4.3 TVP-QT 性能测试及分析.....	32
3.5 本章小结.....	34
4 基于 LS^2 的 TVP-QT 信任链分析.....	35
4.1 基本假定.....	35
4.2 m 信任链的本地验证及远程证明.....	35
4.2.1 本地程序执行.....	35

4.2.2 本地可信属性描述.....	36
4.2.3 信任链远程验证.....	40
4.3 可信衔接点 TJP 的本地验证及远程证明.....	42
4.3.1 本地程序执行.....	42
4.3.2 本地可信属性描述.....	43
4.3.3 信任链远程验证.....	44
4.4 本章小结.....	46
5 基于扩展无干扰理论的信任链分析方法.....	47
5.1 扩展无干扰理论基本假定及定义.....	47
5.2 TVP-QT 信任链传递形式化描述.....	52
5.3 扩展无干扰信任传递判定定理.....	53
5.4 基于扩展无干扰的 TVP-QT 验证.....	56
5.5 本章小结.....	58
6 总结与展望.....	59
6.1 工作总结.....	59
6.2 研究展望.....	59
参考文献.....	61
致谢.....	65
硕士期间科研成果和项目.....	66

1 绪论

1.1 研究背景及意义

根据NIST定义^[1]，云计算是可以使用户按照使用量付费并且获得高效的、快捷的网络服务的新型资源共享模式，其主要目的是在提高网络、服务器、硬盘存储、软件等共享资源利用率的同时，使云租户不再关注硬件资源的管理和维护，云租户只需要在硬件资源上投入很少的管理维护工作就可以得到很高的资源回报。云计算的高效率的资源处理能力也带动了大数据、人工智能等相关领域的发展。目前的云计算提供商，比如国外的Intel、IBM、微软，以及国内的腾讯、阿里巴巴都拥有非常成熟的云计算技术和应用服务提供技术。云计算的快速发展同时也给云计算带了除传统信息安全、网络安全之外的安全问题^{[2][3]}，其中，如何向云租户证明云计算底层平台的安全性、虚拟机(Virtual Machine, VM)的安全性是一个非常重要的问题^[4-8]。而可信计算是保障信息系统安全最为重要的技术手段之一^{[9][10]}，它通过提供数据保护、身份认证、远程证明以及完整性度量等特性提高包括底层物理资源、应用软件等在内的计算平台的可信性和可靠性^[11]。因此，将可信计算技术应用在提高云计算环境的安全性是工业界和产业界必须重视的地方。

根据中国信息通信研究院2017年7月发布的《云计算关键行业应用报告》^[12]，近几年，云计算的发展十分迅速，并产生了以云主机为主要服务的云计算市场。其中，2016年，全球云计算市场的经济整体规模已经达到了654.6亿美元，较2015年增长25.4%，并且在2020年云计算市场规模将达到1453.3亿美元，平均每年增长率为21.7%。2016年我国的云计算市场达到514.9亿元，增速为35.9%，处于全球国家云计算发展的前列。2017年，工业和信息化部发布的《云计算发展三年行动计划（2017—2019年）》^[13]提到，我国云计算的发展目标“到2019年，我国云计算产业规模达到4300亿元”，该行动计划为我国云计算和云计算安全技术创新和产业发展指明了方向，提供了政策保障和法律依托。并且，根据著名安全公司McAfee发布的“2017年全球云计算安全报告”^[14]显示，在2016下半年到2017年，在参与调查的公司中，为把更多的精力投入到提高客户体验中，IT预算中有超过80%的预算被用来使用云服务及其解决方案。但是，仅有23%的企业完全信任云计算提供商。

目前的大部分云租户不能完全信任云提供商提供的云计算服务的原因，主要是由于云租户在使用云提供商提供的虚拟机时，并不能确认云计算平台上的物理主机是与云提供商按照各自操作系统官方文件进行启动的，以及租户请求的虚拟机是按照预期的配置和要求进行启动的。因为云计算环境下的虚拟机存在着包括传统信息系统安全以及新型网络安全等威胁，比如：虚拟机恶意代码攻击、虚拟机逃逸等，这些都会导致虚拟机在重新启动时的组件被篡改，在云租户对虚拟机进行重新启动时，可能无法判断虚拟机的操作系统、数据是否被篡改。而可信虚拟平台的构建可以利用可信平台模块（Trusted Computing Platform, TPM）中的可信度量、可信报告等技术向用户发送关于云计算平台的可信度量结果，并且证明自身的安全性。一方面，云计算架构中独特的虚拟机监视器（Virtual Machine Monitor, VMM）的隔离机制、安全机制、监控机制，为在物理服务器操作系统和应用服务建立可信计算环境提供了保障，也可以有效的防止外界对可信计算环境的侵扰和破坏；另一方面，可信计算技术为虚拟化技术中的虚拟机提供了完整性度量和信任链扩展的思路，为虚拟机对云租户提供云服务提供了保障。

信任链技术^[15]是可信计算的关键技术，针对可信计算技术与云计算技术结合的可信虚拟平台的信任链构建更是十分有必要的。利用虚拟可信平台模块（Virtualization of Trusted Platform Module, vTPM）^[16]在云计算环境中构建安全可靠的可信虚拟平台，并且利用可信计算中的关键技术——信任链技术对整个云计算平台进行信任链构建，建立从云计算平台底层物理服务器到提供服务的可信虚拟机的信任链，可以给目前的云计算安全问题提供一个新的解决思路，为构建云服务提供更好的安全保障。

并且，针对信任链传递模型的形式化分析方法一直是可信计算研究领域中的重点关注的问题，从安全系统的整体构建角度上来看，一个安全可靠的系统不仅仅在功能上是安全的，也必须利用形式化分析中的数学模型描述其组件和安全属性，并用语义明确的定义和安全定理证明其安全性。在针对信任链形式化分析方法中的众多理论中，无干扰理论一直是备受研究者关注的形式化分析方法。无干扰理论基于有限状态机描述系统的行为和动作，并从传递无干扰和非传递无干扰给出系统的安全定理。但是目前的针对信任链传递模型的形式化分析方法还不能完全

适用于云计算环境下的可信虚拟平台，其缺点主要表现在其没有考虑到云计算运行中时的安全域、动作所属主体以及动作对安全域和系统状态的影响进行详细的说明，比如，系统的发出动作在整体上是属于某一域，但是实际上也存在发出该动作的主体。

为此，本文对可信虚拟平台架构及其之上的信任链模型进行研究，并利用已有的形式化分析方法安全系统逻辑方法和本文提出的扩展后的无干扰理论分别对信任链进行形式化分析。首先提出了带有可信衔接点的可信虚拟平台架构TVP-QT，其中可信衔接点由三部分组件构成，虚拟机构建模块，虚拟可信模块构建模块，VM和vTPM绑定模块，该可信衔接点充分连接了云计算平台和虚拟机，保障信任链构建的安全性和完整性。然后构建TVP-QT的信任链模型，该模型以硬件TPM为起点，在底层虚拟化平台和顶层用户虚拟机信任链之间加入可信衔接点。当信任链从底层虚拟化平台传递到可信衔接点时，由可信衔接点负责对用户虚拟机的vTPM进行度量，之后将控制权交给vTPM，由vTPM负责对用户虚拟机启动的组件及应用进行度量。该模型中可信衔接点具有承上启下的瀑布特征，能满足虚拟化环境的层次性和动态性特征，保证了整个可信虚拟平台的可信性。最后，本文对目前的无干扰理论进行扩展，详细的定义了动作的主体，动作对系统安全域的影响等，并给出了非传递无干扰的云计算环境信任链安全判定定理。不仅在实验上证明了TVP-QT模型的安全性和可靠性，也在理论上证明了TVP-QT模型的安全性和可靠性。

1.2 国内外研究现状

可信计算技术与虚拟化技术的结合的可信虚拟平台（Trusted Virtualization Platform, TVP）一直以来都受到国内外学者的广泛关注。Intel的Stefan Berger^[16]等人最先提出vTPM的概念，随后产生了很多关于TVP及其信任链构建的研究成果，其中，开源的虚拟机架构Xen^[17]是最早支持vTPM的VMM，为学术界和产业界提供非常便捷的实验平台；2015年，云计算公司EMC^[18]宣布在VMware vSphere 6.0中支持vTPM；2016年，微软^[19]宣布在win10中加入可信计算，并提供Hyper-V技术。总之，学术界和产业界都已开始重视可信计算技术与虚拟化技术的结合。为更好的

对本文研究内容的国内外研究现状进行阐释，本文将从可信虚拟平台架构、可信虚拟平台信任链模型、针对信任链的形式化分析方法三部分进行描述。

1.2.1 可信虚拟平台架构

国外研究者针对可信计算解决虚拟系统安全问题的研究比较早，在2000年后都被研究者用来解决虚拟系统平台安全的问题，这些平台包括Terra^[20]，Perseus^[21]等，这些平台的主要思想是把底层计算平台分为两部分，可信区域和不可信区域，其中可信区域上运行着高安全性需求的虚拟机，而存在着安全威胁的虚拟机被放在不可信区域。这些方案为可信虚拟平台的研究提供很好的理论和方案基础。

TVP的概念首先由 Stefan Berger^[16]等人提出，随后文献[22~25]等学者针对如何构建具体应用场景的TVP功能应用以及抽象和统一的TVP概念取得了很多较好的研究成果，并且达成了一些基本的共识。目前，研究此方面的学者绝大多数都认为，在物理上，TVP作为一个可以支持虚拟化技术的可信主机，并且与一般的可信计算平台的主要区别有两方面，一是拥有在物理硬件可信平台模块（Trusted Platform Module, TPM）构建起来的虚拟可信信任根；而是可以并发的为在可信虚拟平台之上的多个用户虚拟机（Virtual Machine, VM）提供可信虚拟信任环境。这种TVP的运行架构如图1.1所示。从功能上看，TVP架构主要分为4个层次。第一层为硬件信任根TVP，作为整个架构的最底层，是整个平台信任的物理保证。第二层主要包括虚拟机监视器（Virtual Machine Monitor, VMM），及构建与VMM之上的管理域（主要是其内核及相关域管理工具），它们通常被认为是 TVP 的可信计算基（Trusted Computing Base, TCB）。第三层是虚拟信任根（Virtual Root of Trust, vRT），由于实现方案不同，其加载过程可能是传统信任链的一部分，或直接利用动态加载机制如动态度量信任根（Dynamic Root of Trusted Measurement, DRTM）机制启动，这使得它或者成为 TCB 的一部分，或者作为应用进程单独存在。最上层是用户虚拟机，是与用户应用密切相关的部分。

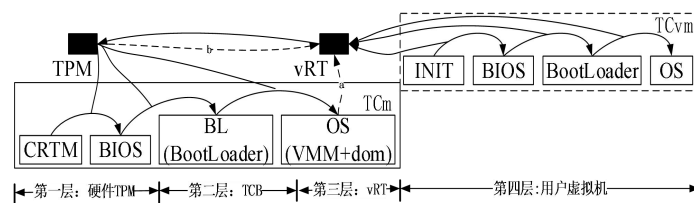


图 1.1 TVP 基本运行架构

根据文献[24]的vRT等概念，HP、IBM等研究机构分别提出并构建了相应的TVP^{[30][31]}，其TVP架构可根据不同应用需求建立用户可定制的TVP，在很大程度上推动了TVP的发展。随后，Krautheim^[32]等学者基于云计算环境建立了TVP，使其可以保护云计算环境下的虚拟机运行，以及保护虚拟机运行时上层服务软件的完整性、安全性。Zhang Lei^[26]等提出一种具有可信域层次的TVP，通过可信云平台和可信虚拟机进行分离的TVP构建机制，并实现了对可信云平台以及可信虚拟机的安全保障。

国内的研究中，王丽娜^[25]给出了基于信任链扩展的TVP架构，常德显^[27]等根据TVP的功能层次给出了包括虚拟机和虚拟可信根的TVP定义，并细分为VMM、Dom0、TPM、vRT等组件。文献[28~33]也建立了类似以上的可信虚拟平台。可以说TVP在保证云计算环境安全、构建可信云平台上起到了重要的作用。

总结起来，目前针对TVP模型的研究尽管取得了很多成果并达成了基本共识，即TVP模型都包含基本组件vRT、vTPM等，但绝大多数已有的研究成果把TVP的VMM和管理域都作为TCB，一起作为虚拟机的vRT，这显然过粗且逻辑上不完全合理的，因为管理域包含OS及大量的应用程序，显然不能采用链式度量所有的应用程序并存储其PCR值。

1.2.2 可信虚拟平台信任链模型

对于TVP信任链模型的研究，为方便的对信任链模型进行更好的阐述，本文将从三个方面对研究现状进行说明。

(1) 通过对TCG链式信任链模型的扩展，实现TVP下可信度量以及信任传递。Scarlata^[34]等提出在构建TVP时，通过可信测量构建从CRTM可信根到每个客户虚拟机的信任链，就可以证明每个客户虚拟机是可信的，显然这种信任链模型是不完善的，无法适应比较复杂的TVP环境。John^[35]对信任链扩展上提出了“Transitive Trust Chain”信任链模型，并且简要的指出了信任链传递过程为TPM → VMM → TVEM manager → TVEM → VM OS(应用程序，但是此种信任链模型没有详细的描述特权域操作系统以及虚拟机操作系统的可信度量。Shen^[14]等根据TCG动态度量方法提出了一种基于Xen的可信虚拟机在 DRTM下的信任链构建，其具体的构建

过程为: CPU→可信代码→Xen VMM→Dom0 (→vTPM Manager→Domain Builder)→Guest OS →Guest Application, 此种信任链模型也存在John[28]中的问题。

(2) 通过研究可信云平台 and 可信虚拟机两部分的信任链, 构建TVP下的信任链模型。常德显^[27]等提出TVP信任链包括按照TVP的功能层次从硬件TPM层→TCB层→vRT层→用户虚拟机层的信任链模型, 此信任链模型对vRT及层次间的连接定义比较模糊。Zhang Lei^[26]等提出一种基于无干扰的可信域层次信任链模型, 并且指出分别度量物理主机和VM的方式, 即首先度量从物理的TPM到物理主机的应用程序, 然后度量VM的vTPM和应用程序, 显然此种信任链模型无法有效的对TVP下构建完整的链式信任链模型, 不能向用户虚拟机呈现一条完整的信任链模型。

(3) 树形或者星形的信任链模型。一部分学者认为TCG的链式信任链可信度量方式在虚拟化环境下是难以有效构建的。朱智强^[36]提出了一种安全可扩展的星型信任度量结构, 在信任度量时只需要信任根(RT)对管理域节点进行度量即可, 但是此信任链模型的关键节点RT需要对所有的管理节点进行度量, RT的负担重, 无法高效的完成TVP下的可信度量以及信任传递。曲文涛^[37]等提出了一种解决RT负担的改进方案, 带链式结构的星型信任链模型, 设计了MDn节点分担了RT的部分度量负担, 但是此种信任链模型也存在负担重的MDn节点。总结起来, 目前针对TVP的信任链模型的共同问题是信任链模型过粗且逻辑上不合理的问题, 与具体云环境中虚拟化平台也不完全相符合, 且目前研究内容中的可信虚拟平台信任链与虚拟机信任链是两条不同的信任链, 这两条信任链在度量层次和度量时间上均是分离的, 不能向虚拟机用户展示一条从TPM到虚拟机应用的完整信任链。

总结1.2.1节和本小节, 本文得出上述的TVP基本运行架构以及信任链传递模型存在过粗且逻辑上不完全合理的问题, 与具体云环境中虚拟化平台也不完全相符合。如图1.1所示, 为了便于叙述, 本文将图1.1中从TPM到第三层的信任链称为可信虚拟平台信任链, 将第四层的信任链称为虚拟机信任链。具体问题表现在:

(1) 现有的TVP模型把整个第三层都作为TVP的TCB并作为虚拟机的vRT, 显然是不精细的且逻辑上也不完全合理的。第三层包括VMM以及DOM管理域, 信任链为CRTM→BIOS→BootLoader→VMM→DOM OS→Apps, DOM管理域包含OS

及大量的应用程序,显然不能采用链式度量所有的应用程序并存储其PCR(Platform Configuration Module)值。

(2) 虚拟平台信任链与虚拟机信任链是两条不同的信任链,即在整个TVP以及客户虚拟机启动过程中存在两条完全分隔的信任链,一条是可信虚拟平台在启动时的信任链,另一条是客户虚拟机在启动时的信任链,这两条信任链在度量层次和度量时间上均是分离的。如何向虚拟机用户展示一条从TPM到虚拟机应用的完整信任链呢?显然,这两条信任链存在如何衔接的问题。

1.2.3 无干扰理论

针对于确保平台信任可验证的信任链形式化建模与分析的方法,目前的研究大部分是基于传统的可信计算平台,并且国内研究较多。其中,陈书义^[38]等人利用一阶逻辑对可信计算平台启动过程进行建模以分析其信任传递过程,并提出长度受限的信任链模型。张兴^[39]等人基于无干扰模型对信任链进行了建模分析,从系统信息流控制角度验证满足传递无干扰安全策略的信息流才能构建有效的信任链。上述方法主要针对普通可信计算平台,并不能直接适用于云计算环境下信任链形式化分析。虽然Zhang^[26]等人利用无干扰理论对可信云计算环境信任链进行了形式化分析和验证,但是此种信任链分析方法是建立在不连续的可信云计算信任链模型上,不能够对可信云计算环境进行正确的形式化验证。

针对于无干扰理论的研究,目前大部分的研究是基于信息流的无干扰模型从动作和运行结果的角度建立系统安全策略模型^[40]。其中,国外研究方向主要集中在系统外部和软件可信性上,Kai E^[41]把无干扰利用扩展到非确定性系统,通过系统外部通道共享信息量。Baldan^[42]等对无干扰中存在干扰的信息流添加了因果关系,建立了多级安全域的无干扰理论。

国内的针对无干扰理论的研究主要是将无干扰中的关键定义进行细分,比如,张兴^[43]、赵佳^[44]等在Rushby的无干扰理论的基础上将系统安全域集实体化为进程集,给出了进程运行的可信条件,推导出系统运行可信定理,保证了终端的安全,但是其模型中的没有针对动作的详细定义,不适合验证可信云环境信任链。刘鹏威^[45]等提出了基于非传递的无干扰理念的二元多级安全模型,在Rushby无干扰理论的基础上重新定义了清除函数,将传递的无干扰理论过渡到非传递的无干扰理

论,并依据BLP和Biba模型保护了信息的机密性和完整性,然而同样存在赵佳中的问题。陈菊^[46]等从进程数据和代码完整性检测出发,利用无干扰理论保证进程之间的操作合法,试图在不安全的操作系统中建立安全的应用支撑。徐甫^[47]等扩展了非传递无干扰理论,并试图通过重新定义静态干扰和动态干扰,使其支持进程自身代码的修改,但是其静态干扰和动态干扰的定义过于抽象,难以和实际的终端系统相对应,因此并不能在实际上完成其所描述的支持自身代码修改的功能。秦晰^[48]等提出了一种容忍非信任组件的可信终端模型,该模型利用可信组件对非信任组件的输出进行封装,保证了非信任组件在终端上的存在不会造成严重的安全威胁,实现了域间隔离和无干扰,保证了结果的可预测性和可控性,但是并没有针对安全域进行详细的描述。

上述对无干扰理论的研究,均没有考虑到云计算运行中时的安全域、动作所属主体以及动作对安全域和系统状态的影响进行详细的说明,比如针对于安全域,在运行中各个安全域可能是独立也可能是通过组件绑定在一起。

1.3 本文主要工作

(1) 具有瀑布特征的可信虚拟平台信任链模型

由本文对可信虚拟平台的研究综述来看,目前的可信虚拟平台存在一些需要改进的地方。本文针对现有的可信虚拟平台,在可信虚拟平台和用户虚拟机之间加入可信衔接点,设计一种在逻辑上合理,vRT精细的可信虚拟平台架构。

在原有的TVP架构中的第二层和第三层加入可信衔接点。可信衔接点位于Dom0,是Dom0的一组应用程序,包括VM的创建组件VM Builder、vTPM实例的创建模块vTPM Builder以及VM-vTPM映射组件VM-vTPM Binding,且作为vRT的一部分,在信任链上按照VM Builder、vTPM Builder、VM-vTPM Binding的顺序依次进行度量。可信衔接点可对TVP-QT的第一、第二层与第四、第五层进行有效衔接,保证TVP-QT信任链构建的连贯性,起到承上启下的作用,具有瀑布特征。并按照第一层硬件TPM(CRTM)→第二层TCB(BIOS→OSLoader→VMM→Dom0 Kernel)→第三层可信衔接点(VM Builderv→TPM Builder→VM-vTPM Binding)→第四层vTPM(vTPM实例)→第五层可信虚拟机(VBIOS→VOSLoader→VMOS

→APP)进行信任链构建。并且,本文基于安全系统逻辑的形式化分析方法对底层物理平台、可信衔接点等进行了形式化分析。

(2) 基于扩展无干扰理论的可信虚拟平台信任链分析方法

目前大部分的研究是基于信息流的无干扰模型从动作和运行结果的角度建立系统安全策略模型,本文按照云计算环境运行特征,拟对原有无干扰理论中的安全域、动作等定义进行扩充,并将动作主体和动作对安全域以及系统状态的影响等扩展到无干扰理论中;最后应用此扩展的无干扰理论来分析可信云环境信任链传递模型,用形式化的方法证明当符合非传递无干扰安全策略时,云环境安全域之间的信息流受到安全策略限制,隔离了域之间的干扰,满足此条件时用完整性度量方法所建立的云环境信任链才是可信的、有效的。

1.4 论文组织结构

本文共分为六章,每章的安排如下:

第1章主要介绍了论文的研究背景及意义,主要从目前国内外云计算的发展及云计算安全的发展;然后介绍了国内外的研究现状,主要从可信虚拟平台,信任链模型,形式化分析方法三个方面进行介绍;最后介绍了本论文的研究方向和研究内容。

第2章主要介绍了云计算中的关键技术——虚拟化技术,以及虚拟机和虚拟机监视器,目前最流行的VMM结构Xen和KVM;其次介绍了可信计算中的关键技术,主要介绍了虚拟可信平台模块,信任链的构建和完整性度量技术,以及虚拟可信平台模块的分类和目前信任链技术的不足;最后介绍了形式化方法,并简要的介绍了安全系统逻辑和无干扰理论形式化分析方法。

第3章主要介绍了本文提出的TVP-QT可信虚拟平台及其信任链模型。首先提出了基于可信衔接点的TVP-QT,可信衔接点由虚拟机构建模块,vTPM构建模块,VM-vTPM绑定模块组成,不仅可以当做可信云平台底层物理服务器的一部分也可以当做虚拟机启动的一部分,完成对底层物理和虚拟机的衔接。其次,介绍了构建在TVP-QT之上的信任链模型并对其信任属性进行定义。最后对信任链进行了功能和性能实验,针对信任链构建和传统信任链的对比进行了实验和分析。

第4章本文主要利用目前的安全系统逻辑形式化分析方法对第3章提出的TVP-QT信任链模型进行了形式化分析。首先给出了本文形式化分析的基本假定，然后从主机、可信衔接点信任链的本地验证和远程证明上给出了基于安全系统逻辑的形式化分析。分析过程可以得出本文的信任链模型在理论上是安全可靠的，是一个在数学模型上安全的系统架构和信任链。

第5章主要介绍了本文提出的扩展无干扰理论，主要从安全域、组合安全域及其动作主体进行扩展，并从弱单步一致性、输出一致性等给出了云计算下安全系统需要满足的性质吗，然后介绍了非传递无干扰安全策略，其中本文提出的扩展无干扰理论方法可以适用于目前的可信虚拟平台信任链的分析。

第6章主要是对本文的研究内容进行概括分析，并指出了论文的不足之处，对未来的研究方向进行了展望。

2 相关技术与理论

2.1 虚拟化技术

虚拟化技术是将实际的物理计算机服务器、内存、硬盘存储等实体资源进行抽象使单一的计算机资源可以被用来提供多个同类资源的资源管理方式；主要用来解决当前物理计算机资源利用率低的问题，从而最大化的利用物理资源。在虚拟化技术中，可以利用资源隔离的方式对虚拟出的计算机资源进行安全隔离，使其可以处在抽象的不同的操作系统中向外部提供服务。

2.1.1 虚拟化技术分类

为了满足当前云计算提供商需要提供不同功能的功能和需求，在实现层次和虚拟方式上都产生了不同类别的虚拟化解决方案，使得不同的虚拟化系统不仅具有最基本的虚拟化技术，也呈现了各自独特的个性^{[49][50]}。下面本文从实现层次和实现方式对虚拟化技术的分类进行介绍。

(1) 不同实现层次

指令集虚拟化，指的是指令集架构级（Instruction Set Architecture, ISA）虚拟化技术。该方式的虚拟化技术能够将操作系统在运行中指令集以软件模拟的方式进行实现，将虚拟机中运行过程中产生的指令转化为本地的指令集，然后在本地及其中执行这些被转换的指令集。目前，比较流行的指令集架构级的虚拟化系统主要由Qemu系统和Bochs系统。

硬件级虚拟化，这种虚拟化技术主要用来虚拟化具体的计算机主机，使得用户在操作计算机资源时，与真实的计算机具有相同的指令集，可以在用户指令可以直接在计算机主机上进行运行，为用户操作虚拟的计算机提供了便利，提高了指令运行的效率和速度。基于硬件级虚拟化技术，用户可以方便的使用被映射为物理资源的虚拟机资源，是目前云计算虚拟化技术中被重点研究的方向。目前基于硬件级的虚拟化技术有EMC公司的VMWare，以及由英国剑桥大学发起的开源框架Xen，都十分具有影响力。

操作系统级虚拟化，在传统的操作系统运行时，相同计算机的多用户的进程都是运行同一操作系统下，如果操作系统的内核或进程管理出现缺陷或漏洞，不同

用户之间相同类别的进程有可能产生影响。而针对操作系统的虚拟化可以有效的解决上述问题。目前最为流行的操作系统级虚拟化技术当属火热的容器技术^[51]，其利用Linux的LXC技术，通过设定不同类别的namespace提供给不同用户相同的并且真实的操作系统。使得每个用户都可以在独立的用户空间进行活动，相互之间的进程、网络、文件等都通过namespace进行隔离。当前典型的操作系统级虚拟化系统有 Linux-VSenser、Solaris Container，以及Docker等容器技术。

（2）不同实现方式

使用二进制翻译的全虚拟化，针对在全虚拟化技术运行的虚拟机可以单独的使用一个被虚拟的硬件资源。该虚拟的硬件环境能够在不需要修改当前虚拟机的操作系统内核便可以提供如同真实硬件环境提供的服务，虚拟机内核中也无法感知当前运行的硬件环境是否是在虚拟化环境下。目前类别为 Windows 的虚拟机大部分都是基于全虚拟化技术提供的，因为 Windows 系统由于没有被开放源码，无法进行内核修改，因此只能选择全虚拟化方式。当前可以提供全虚拟化的架构有 Xen、VMware、KVM 等。

操作系统辅助虚拟化的半虚拟化，和全虚拟化技术中不对内核进行修改的虚拟化方式不同，半虚拟化技术需要通过对虚拟机操作系统进行内核修改，以便完成特权指令的虚拟化。通过半虚拟化技术提供的虚拟机可以通过操作系统下的命令查看到虚拟机的架构。Xen 等都可以提供半虚拟化的虚拟机。

硬件辅助虚拟化，随着虚拟化技术的不断发展，Intel 和 Amd 都推出了各自的虚拟化技术，比如 Intel 的 VT-x，AMD 的 AMD-V 技术，这两个硬件辅助虚拟化技术都针对特权指令为 CPU 添加了一个独特的执行模式，使得 VMM 运行在 0 环，也就是特权域，使得由虚拟机发出的特权和敏感调用自动陷入到虚拟机监视器中。

2.1.2 虚拟机与虚拟机监视器

虚拟机是通过软件模拟的方式产生的具有真实硬件系统的并且运行在一个独立环境中的真实计算机系统。进入虚拟机之后，所有的操作都如同在真实的计算机系统里，可以在独立的系统桌面内安全使用软件，并进行数据的保存等，而且不会对底层的物理资源产生任何影响。虚拟机一般是由可以提供虚拟化技术的软件架构提供，比如 VMware、Xen、KVM^[52]。从架构上看，VMM 对硬盘资源、内

存、I/O 设备等硬件资源提供虚拟化，承担着管理所有物理资源的任务，并且 VMM 也负责这虚拟化虚拟环境的创建和管理，比如虚拟机的迁移，虚拟机的销毁、备份等。

虚拟机与 VMM 的基本结构图如图 2.1 所示：

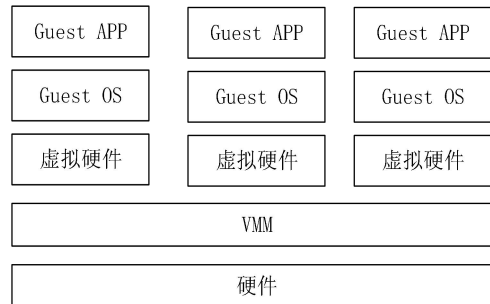


图 2.1 虚拟机与 VMM 基本结构

从图2.1中可以看出，VMM是一个位于操作系统和计算机硬件之间的特权域，可以保证对上层运行的多个虚拟机进行资源隔离，以保障每一个虚拟机都可以在安全的环境下运行，并且虚拟出与甚至硬件资源的虚拟硬件环境，实现了多个虚拟机运行在一个物理平台上，提高了计算机硬件的使用率。实际上，VMM的作用不仅仅是提高了一个多任务的管理任务，也是一种十分安全可靠的虚拟化系统方案。

2.1.3 Xen 与 KVM

(1) Xen

Xen 是由英国剑桥大学开发的开源虚拟机监视器，Xen 必须对 Linux 内核进行修改才可以在使其在 Linux 环境中充当 VMM 的角色，这种方式可以方便的对虚拟机操作系统发出的 CPU 指令进行进行理解和翻译，并且无需得到特殊硬件的支持便可以达到高效率的虚拟化目的。Xen 既支持全虚拟化又支持半虚拟化，在实际的 Xen 环境中，主要有两个组成部分。一个是位于硬件和虚拟之间的 hypervisor，在硬件启动之后，首先载入，然后启动管理虚拟机。管理域虚拟机也叫 Domain0，在 Xen 环境中是一个拥有很高特权的虚拟机，拥有原生的设备驱动，负责对虚拟机操作系统的管理和命令的转发，这样可以使得 hypervisor 能够把更多的工作用来进行虚拟化。在 Domain0 启动之后，还会载入一个对其他 DomainU 虚拟机就那些管理的 Xend 进程，并提供这些虚拟机控制台的访问，管理员可以通过控制台直接

与 Domain0 进行对话。DomainU 没有真实的硬件驱动，不能直接对物理硬件资源进行访问，必须通过 Domain0。

(2) KVM

KVM 是 Kernel-based Virtual Machine 的简称，也是一个开源的系统虚拟化架构，KVM 自 Linux 2.6.20 版本开始集成在 Linux 的各个发行版本中。KVM 作为 Linux 的一个内核模块，通过 Linux 内核自身的调度器进行模块管理，相对于 Xen，KVM 的核心源码很少，已经成为学术界和产业界主流的 VMM。KVM 需要硬件辅助才可以进行虚拟化，是一种全虚拟化的技术。KVM 内核模块在运行时按需加载进入内核空间运行。KVM 本身不执行任何设备模拟，需要 QEMU 通过 /dev/kvm 接口设置一个 GUEST OS 的地址空间，向它提供模拟的 I/O 设备，并将它的视频显示映射回宿主机的显示屏。

2.2 可信计算

可信计算技术是一种保障信息系统安全的新技术，可信计算的思想是来源于人类社会，把人类社会成功的基于信任的管理经验用于保障计算机系统安全。可信计算的基本思想是：

首先在计算机系统建立一个可以有物理系统安全技术进行保障的信任根；然后以该信任根为信任基础建立一条从硬件平台到操作系统应用程序启动的信任链，一级度量一级，直到平台所有组件启动。

可信计算技术中最重要的技术是可信计算模块，旨在通过硬件安全模型采用软件和硬件相结合的方式来提高传统信息系统和新型计算平台的安全性和数据完整性。并且可以提供给第三方进行远程验证计算平台的远程证明方式来达到保护本地和远程终端的安全和可靠。

2.2.1 可信平台模块

可信平台模块是可信计算平台的信任基础和核心技术。首先，TPM作为可信计算技术实现数据加密、完整性度量的关键模块，必须严格保障自身的安全，并且保障可信计算功能的有效执行，防止外界的干扰。其次，TPM应具备远程证明。构建信任链等功能，并且具有密钥管理和数据加解密等基础功能。可信平台模块的功能应括平台数据保护、完整性存储与报告、身份标识等三个部分。

2.2.2 信任链技术

当前世界很多信息的传递都离不开网络这一媒介，同时带来了新型的网络新型安全问题，比如网络传播的木马、病毒等。但是这些恶意代码的最终的作用目标都是计算机终端，并且破坏计算机终端数据的完整性。当前围绕着保护计算机终端的安全性出现了很多信息系统安全保障技术，比如访问控制、入侵检测灯光。但是这些技术都是以在计算机启动之后给系统安装针对恶意代码的补丁的方式来增强系统安全，并没有彻底解决系统安全问题。可信计算中的信任链技术能够对系统启动过程以及运行中的组件进行完整性度量 and 信任传递，从源头解决计算机系统的安全问题。

可信计算组织TCG通过嵌入在计算机系统的可信度量根TPM芯片，提出了一种链式信任链度量方式，其从信任根开始一层度量一层，经过计算机物理硬件、系统引导、操作系统以及启动后的应用程序的逐级认证，将信任从最底层的信任根扩展到整个计算机系统，建立整个平台的可信和可靠。

如图2.2所示：

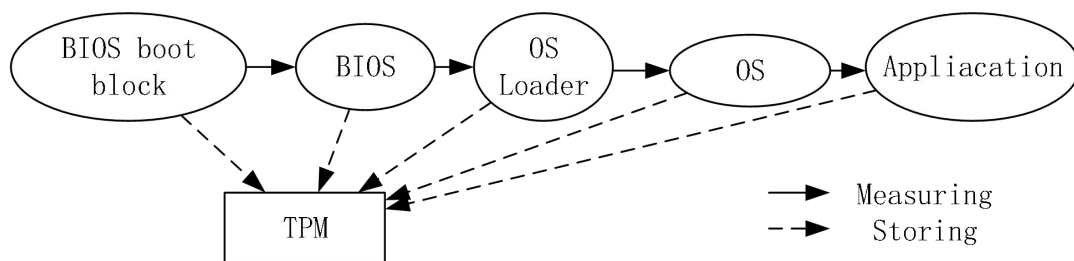


图2.2 TCG信任链模型

下面本文对PCR和完整性度量机制进行简要的介绍。

（1）PCR

平台状态寄存器（Platform Configuration Register, PCR），可以记录计算机系统在运行时的各种状态，比如系统的内核镜像、系统进程的信息列表等。但是TPM芯片由于储存的信息有限，所有在PCR中存放的往往是通过SHA-1算法得到的运行状态的哈希值。SHA-1作为一种密码学散列函数，对于任何长度的输入消息都可以生产固定长度的哈希值，一旦输入消息有1bit的差别，就会得出不同的哈希值。因此从PCR中记录的计算机软硬件配置信息是很容易看到系统完整性的改变。

(2) 完整性度量机制

系统在启动过程中, 计算机的控制权在BIOS、启动装载程序(Bootloader)、操作系统内核、操作系统外围程序和应用程序之间依次传递。如果恶意代码能够在这个启动序列中的某一个环节上截取控制权, 那么它就能够任意篡改和控制之后的启动序列。例如一个恶意的启动装载程序(如恶意的Grub)可以在用户不能察觉的情况下装载一个被篡改过的Linux内核镜像。这个恶意的Linux内核镜像在启动之后, 可能提供给攻击者控制整个平台的权限, 破坏所有应用的完整性和机密性, 敏感数据可能被攻击者所窃取。由此可见, 启动序列中的任意序列受到破坏都会对整个系统的运行安全产生影响, 因此, 必须有一种强有力的信任机制来评估系统启动过程是否已经被攻击者所篡改。TPM硬件中的完整性度量机制就是解决这一问题的重要方法。

信任链机制是TPM对启动序列信任评估的核心。信任链是在信任当前某一环节的前提下, 由该环节去评估下一个环节的安全性, 确定下一环节可信之后再将其控制权转交给下一环节, 然后依次向后推进。在信任链中, 控制权依次在受信任的客体之间传递。为了保证启动序列的每一环节都是安全可信的, 那就必须能够在每一步控制权移交之前对下一个环节进行量化的判断, 判断下一环节的客体是否受到了篡改。判断是否被篡改就是通过度量来完成的, 即将客体二进制镜像进行哈希度量, 并将所得的度量值扩展到PCR中去。整个启动序列都遵循“先度量, 再执行”的原则。当前阶段的代码负责度量下一阶段即将要执行的代码, 然后再将度量值扩展PCR中。这样循环往复, 就构成了信任链。

2.2.3 可信计算模块虚拟化

TPM虚拟化, 就是在虚拟计算平台中将I/O设备虚拟化技术应用于TPM, 使得该平台中的每一个虚拟机, 都能安全、独立和自主地使用可信计算功能来提高自身运行环境的可信性和安全性, 满足虚拟机用户的可信需求。TPM虚拟化的概念有三方面含义, 首先, 在虚拟化技术方面, TPM虚拟化本质上是I/O设备虚拟化; 其次, 在功能方面, 每个虚拟机都能使用TPM提供的可信计算功能; 第三, 在安全目标方面, 通过TPM虚拟化, 每个虚拟机能够提高自身运行环境的可信性和安全性, 满足虚拟机用户的可信需求。对于硬件级虚拟化, 根据VMM采用的虚拟化实现方式不同, I/O设备虚拟化采用的实现方式也会不尽相同, 其核心在于I/O设备

原生驱动的存放位置以及VMM对I/O设备的处理方式。TPM是一个通过LPC总线挂在主板上慢速I/O设备，采用什么样的I/O设备虚拟化实现技术当然依赖于VMM虚拟化实现方式。

TPM虚拟化的目的是为虚拟机提供可信计算服务，协助虚拟机建立可信计算环境，让使用虚拟机的用户认为和使用带有物理TPM的可信计算机系统没有明显区别。因此，在虚拟化TPM时，有以下基本要求。

等价性，是指虚拟机中的应用程序或用户在使用TPM功能时，除去时间因素外，其余都必须与单独拥有物理TPM的计算机系统一样，包括可信计算的度量、存储和报告等功能。安全性包，括两方面含义，其一是物理TPM应该由VMM全权管理，客户虚拟机操作系统、应用程序或用户不能直接访问TPM；其二是TPM虚拟化软件系统及架构的安全性。虚拟平台对TPM虚拟化必须满足这两方面的安全要求。方便性，是指在TPM虚拟化完成之后，方便对其进行维护、升级和迁移。

2.3 形式化分析方法

在计算机科学和软件工程的学科领域中，形式化方法是适合针对软件系统和硬件系统的描述、开发以及验证的基于数学逻辑的特种技术。形式化分析方法的目的是期望软件和硬件设计过程中能够像其他工程学科能够利用适当的数学分析来证明设计系统的可靠性。通常形式化分析方法用于十分注重安全性和可靠性的高度整合的系统。形式化方法通常有一套十分严谨的定义和概念，比如一致性和完整性，以及拥有严谨的证明规范。其本质是基于良好的数学逻辑方法来描述软件系统拥有安全属性的一直技术。不同的形式化方法的数学基础是不同的，有的以集合论和一阶谓词演算为基础，有的则以时态逻辑为基础。

2.3.1 无干扰理论

1982年，Goguen和Meseguer^[53]最早提出基于信息流的无干扰理论，但是目前使用的无干扰理论是1992年由Rushby提出，主要采用状态机的无干扰利用，并传递无干扰和非传递无干扰的安全定义。本文给出Rushby的基于状态机的无干扰理论的基本定义。

系统中M主要包括：系统状态集合S、动作行为集合A、系统输出集合O、系统安全域集合D四个集合，这四个集合主要存在四种动作函数：

单步状态转移函数: $step: S * A \rightarrow S$;

系统运行函数: $run: S * A^* \rightarrow S$;

输出函数: $output: S * A \rightarrow O$;

主域函数: $dom: A$

并且在传递无干扰理论模型中, \sim 为安全域 D 上安全域间的干扰关系, 比如 r, t 属于 D ; 则 $r \sim t$ 表示安全域 r 的信息流向 t 。定义辅助函数 $purge: A^* * D \rightarrow A^*$, $purge(a, v)$ 表示从动作序列 a 中删除所有从 v 发出的动作序列。

但是Rushby的无干扰理论并不能完全适用于云计算平台, 云计算平台存在着大量安全域以及安全域中的组件, 每一个组建中又包含各自相互影响的行为动作。

2.3.2 安全系统逻辑理论

目前的安全系统大部分是为抵御安全威胁涉及的复杂的系统, 例如: 虚拟机管理器, 安全内核, 操作系统, 可信平台模块等。由Anupam Datta^[54]等人提出的安全系统逻辑理论建立了一套从系统启动开始, 到系统程序依次运行期间对进行指定程序进行安全性分析的形式化分析机制。下面本文简要的介绍本文用到的安全系统逻辑中的部分定义。

$read\ l$: 读取定位 l 中的行为;

$write\ l, e$: 向 l 中写入数据 e ;

$extend\ l, e$: 向PCR l 中扩展 e ;

$lock\ l$: 向 l 加入写锁;

$unlock\ l$: 释放 l 的的写锁;

$send\ e$: 发送消息 e ;

$Receive\ e$: 收到信息 e ;

$sign\ e, K$: 用私钥 K 签名 e 。

2.4 本章小结

本章主要对于本文研究内容相关的主要技术及理论进行分析和介绍。主要介绍了虚拟化技术, 以及从虚拟化实现方式、虚拟化实现层次介绍了虚拟化技术的分类, 以及从虚拟机管理的角度上介绍了虚拟机监视器 VMM 等; 随后介绍了可信计算技术中的关键技术可信平台模块以及信任链技术, 并简单介绍了信任链技术

中的重要概念 PCR 和信任链度量方式等。然后简单介绍了可信计算技术虚拟化及虚拟可信平台模块的基本要求。最后介绍了安全系统逻辑和无干扰理论中一些最基本的定义和函数，后文本文利用这两种形式化方法或者其扩展对本文建立的信任链模型进行分析。

3 具有瀑布特征的 TVP 架构及信任链模型

本文提出了具有瀑布特征的 TVP-QT 架构及信任链模型，本章将对 TVP-QT 架构及信任链模型进行详细的描述。本文主要针对 TVP-QT 及信任链模型，而针对虚拟化平台固有的安全性机制，比如 VMM 的特权域操作、VM 之间的隔离性等安全性机制，可参考 Gilles Barthe^[52]等学者给出的形式化描述与分析^[55]。本文在本节对 TVP-QT 的功能组件以及 TVP-QT 信任链信任属性进行定义，本文在第 4 章将利用文献[27]提出的安全系统逻辑形式化方法对信任链进行形式化分析。

3.1 TVP-QT 系统结构

本文基于已有的TVP研究方案，提出了TVP-QT运行架构，如图3.1所示。

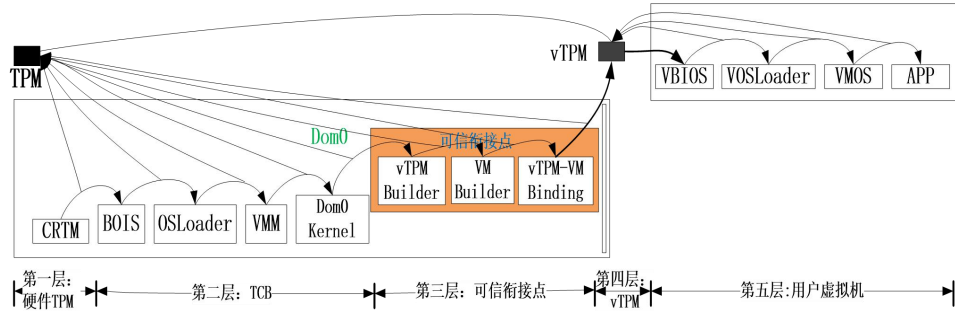


图 3.1 TVP-QT 运行架构

本文提出的TVP-QT运行架构在功能上可以分为5个层次。第一层是硬件信任根TPM构成的可信虚拟平台底层，可以从物理硬件层次保证虚拟化平台的可信；第二层主要包括VMM以及管理域Dom 0的相关组件，本文把管理域记作Dom0，针对不同的VMM，Dom0的启动会有不同的方式。例如，Xen的管理域启动相关组件包括运行中涉及的VBOIS、VOSLoader、VMOS等组件，这一层次可以作为TVP-QT的可信计算基。值得指出的是，与已有的TVP不同，本文只把Dom0 Kernel看成是可信基，这显然更为合理，因为Dom0实际上是整个虚拟化平台的管理域，含大量的应用程序，这些管理程序无法采用TCG链式度量，且也很容易受到攻击而改变^{[56][57]}。第三层是本文重点设计的可信衔接点，可信衔接点位于Dom0，是Dom0的一组应用程序，包括vTPM实例的创建模块vTPM Builder、vTPM-VM映射组件vTPM-VM Binding以及VM的创建组件VM Builder，且作为vRT的一部分，在信任链上按照vTPM Builder→vTPM-VM Binding→VM Builder的顺序依次进行度量。可

信衔接点可对TVP-QT的第一、第二层与第四、第五层进行有效衔接, 保证TVP-QT信任链构建的连贯性, 起到承上启下的作用, 具有瀑布特征。第四层为vTPM, vTPM作为可信虚拟机部分的虚拟信任根, 是由可信衔接点为虚拟机创建的vTPM实例, 它可利用TCG的动态度量信任根(DRTM)机制启动, 作为虚拟化平台应用进程的一部分。最上层为可信虚拟化平台上与用户活动联系最大的用户虚拟机层次, 其运行时组件主要包括VBIOS、VOSLoader、VMOS、应用程序(APP)等相关组件。基于上述对TVP-QT的分析, 本文从功能角度给出TVP-QT的抽象定义。

定义3.1 TVP-QT是具有可信功能的虚拟化计算平台, 主要包括2类功能组件: TVP-QT:= $\{M, RT\}$, M表示虚拟化平台所有主机类型集合, 包括构成虚拟化平台的基本组件VMM、管理域内核、可信衔接点及用户虚拟机等, 它们是利用虚拟化技术为用户提供资源与服务的主体; 信任根(Root of Trust, RT)是构建TVP信任环境的基础, 也是TVP的核心组件, 对虚拟化平台来说, 它包括硬件TPM、可信衔接点TJP和vTPM。

对于TVP的主机M, 根据其类型进一步细化为 $M:=\{m, vm\}$, 其中, $m:=\{VMM, Dom0\ Kernel, TJP\}$, 特指底层的VMM、Dom0 Kernel和可信衔接点TJP, 它们是 TVP的TCB。 $vm:=\{vm_1, \dots, vm_n\}$, 表示虚拟化平台上层的用户虚拟机vm 集合。

相似地, TVP的信任根也进一步分类为 $RT:=\{TPM, vRT\}=\{TPM, (TJP, vTPM)\}$, 其中, TPM 是底层的硬件信任根, 主要通过可信计算技术为物理平台提供信任保障, 它拥有可信平台的非易失存储、密钥存储等固有特性; vRT包含可信衔接点TJP和vTPM, 在功能实现上可表现为主机m中内核组件或部分独立的可信组件, 本文将vRT抽象为一个独立的可信功能组件, 通过特定的映射关系与硬件信任根TPM关联, 以确保其vRT的可信性。其中vTPM是软件形式的TPM, 具有TPM的安全功能; TJP是可信衔接点, TJP的可信依赖于物理TPM, 用来衔接底层的虚拟化平台m和顶层的虚拟机vm。

因此, TVP从功能角度可定义为:

$$\begin{aligned} TVP &:= \{(TPM, m), (vRT_1, vm_1), \dots, (vRT_n, vm_n)\} \\ &= \{ (TPM, (vmm, Dom0\ Kernel, TJP)), ((TJP, vTPM_1), vm_1), \dots, ((TJP, vTPM_n), vm_n) \} \end{aligned}$$

其中， m 必须使用TPM 来构建信任，而虚拟机 vm 则是利用TJP和其相应的vTPM来构建信任。

特别地，可信衔接点TJP可以划分为 $TJP := \{vTPM\ Builder, vTPM-VM\ Binding, VM\ Builder\}$ ，其中vTPM Builder, vTPM-VM Binding, VM Builder都作为可信平台管理域上应用程序的一小部分。vTPM Builder表示与创建和管理vTPM实例的相关组件，并负责提供给 vm 运行时的vTPM标识以及端口；而vTPM-VM Binding则表示对 vm 和vTPM实例间绑定关系的相关组件，VM Builder表示与创建用户虚拟机相关的配置文件、组件等。在TVP-QT涉及到的vTPM架构中，每个 vm 必须与唯一对应的vTPM实例绑定。可信衔接点TJP的来源如表3.1所示，其中vTPM管理组件可由VMM上的vTPM组件提供，比如目前存在与Xen上的vTPM Manager。

表 3.1 TJP 功能组件来源

TJP	主要组件	主要功能组件来源
vTPM Builder	vTPM 启动组件	vTPM 管理组件
	vTPM 配置文件	虚拟化平台
vTPM-VM Binding	vTPM-VM 绑定组件	vTPM 管理工具、VMM
VM Builder	VM 启动组件	VMM
	VM 配置文件	虚拟化平台

相对于已有的TVP，本文提出的TVP-QT运行架构具有如下特点：

(1) TVP-QT更加精细。已有的TVP把整个管理域作为TCB，包括Dom0 Kernel和所有应用程序，而TVP-QT模型仅把Dom0 Kernel、TJP及vTPM作为TCB，由于TJP及vTPM只是管理域中很小一部分应用程序，因此TVP-QT的TCB更小。

(2) TVP-QT在逻辑上也更合理。一方面，已有的TVP的TCB无法采用TCG链式度量机制进行安全保证，而TVP-QT的TCB可以实现链式度量。因此，TVP-QT更符合TCG的链式度量标准。另一方面，TVP-QT增加了TJP，从逻辑上比已有的TVP更加合理。

3.2 TVP-QT 信任链及属性

TCG 组织从实体行为预期性角度给出可信的定义，并采用装载前度量的方案，给出了信任链传递和控制权转移的过程^[19]。并且，TVP 的信任链与普通可信计算平台相似，也需要保证可信平台能够基于信任根，通过逐级的信任传递，对可信

虚拟化平台环境进行构建。但是，虚拟化平台可以同时执行多个用户虚拟机实例，使得构建在其至上的信任链传递会出现不同的信任链分支，这与可信计算最初构建信任环境的思想并不一致^[19]。尽管如此，只要虚拟化平台能够确保信任链构建过程的唯一性、正确性，以及能对任意的外部实体 R 证明确实构建了对应的信任链，那么整个虚拟化平台是可信的^[19]。如图 3.2 所示，从外部实体来看，虚拟化平台仍然满足 TCG 最初建立信任环境的思想。

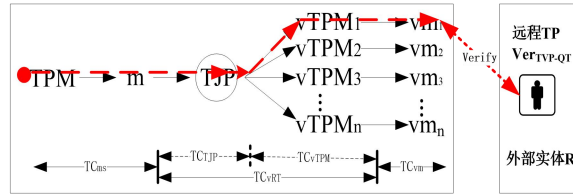


图 3.2 虚拟化平台可信环境信任链构建与验证

为了确保这种信任传递的正确性，需要对 TVP-QT 信任链进行验证，证明在程序控制权传递过程中，各个进程的确能够按照预期执行，而且能够对外证明上述属性。本文将上述验证目标抽象为信任链的信任属性（Trusted Property, TP），其抽象定义如下。

定义 3.2 （TVP-QT 信任链模型的信任属性 TP_{TVP-QT} ）根据上文对 TVP-QT 信任属性的描述，TVP-QT 的信任属性应该定义为一个二元组 $TP_{TVP-QT} := \{TC_{TVP-QT}, Ver_{TVP-QT}\}$ ，其中 TC_{TVP-QT} 表示 TVP-QT 信任链模型构建时所包含的可信组件传递序列，即上文对 TVP-QT 信任链模型具体构建过程的描述的各个组件序列。 Ver_{TVP-QT} 表示为对 TVP-QT 信任链模型执行序列的远程认证。

按照 3.1 节对 TVP-QT 中相应功能组件的定义，该 TVP-QT 信任属性可以进一步细分为：

$$\begin{aligned} TP_{TVP-QT} &:= \{TC_{TVP-QT}, Ver_{TVP-QT}\} = \{(TC_m, TC_{vRT}, TC_{vm}), (Ver_m, Ver_{vRT}, Ver_{vm})\} \\ &= \{(TC_m, (TC_{TJP}, TC_{vTPM}), TC_{vm}), (Ver_m, (Ver_{TJP}, Ver_{vTPM}), Ver_{vm})\} \end{aligned}$$

由定义可知 TVP-QT 信任属性可以分为三类：主机 m 的信任属性 TC_m ，虚拟信任根 vRT 的信任属性 TC_{vRT} ，以及用户虚拟机的信任属性 TC_{vm} 。其中 TC_{vRT} 包含 TC_{TJP} 和 TC_{vTPM} 两个属性。下面对 TVP-QT 三类组件的信任属性分别进行阐述。

(1) 主机 m 的信任属性表示 $TP_m := \{TC_m, Ver_m\}$ ，其中， TC_m 表示基于硬件信任根构建的信任链，即主机 m 在本地正确地完成从第一层硬件 TPM 的 CRTM 到

Dom0 Kernel 的可信启动过程：(CRTM→BIOS→OSLoader→VMM→Dom0 Kernel)_{TPM_Static}，此部分信任链可基于硬件可信芯片 TPM 的可信度量，且在 TVP-QT 信任链传递过程中不存在除 TVP-QT 信任链组件之外的程序代码加载。
 $Ver_m := Verify(m, TC_m)$ 表示对外验证主机 m 所声称的信任属性 TC_m ，使远程验证者 R 相信 TVP-QT 平台主机 m 拥有这样的信任链属性 TC_m 。

(2) vRT 的信任属性为 $TP_{vRT} := \{TC_{vRT}, Ver_{vRT}\}$ ，表示 vRT 的本地可信加载及其对外的证明。由定义 3.1 对 vRT 以及定义 3.2 对 TVP-QT 信任属性的定义，可对 TP_{vRT} 进行进一步细分：

$$TP_{vRT} := \{(TC_{TJP}, Ver_{TJP}), (TC_{vTPM}, Ver_{vTPM})\},$$

其中， TC_{TJP} 表示基于硬件信任根构建的信任链衔接点，其信任传递的过程包括两种情况，其一是在 m 启动时，需要采用静态度量方式对 TJP 进行度量，其信任传递的过程为 $(\dots \rightarrow Dom0\ Kernel \rightarrow TJP)_{TPM_Static}$ ，完整地表示为：
 $(CRTM \rightarrow BIOS \rightarrow OSLoader \rightarrow VMM \rightarrow Dom0\ Kernel \rightarrow vTPM\ Builder \rightarrow vTPM-VM\ Binding \rightarrow VM\ Builder)_{TPM_Static}$ ；其二是在创建 vm 时，为了保证 TJP 的可信（由于 TJP 是应用程序，恶意程序容易篡改），从而使得信任关系可以传递到新建的 vm ，需要采用动态度量方式对 TJP 重新度量验证，信任传递的过程为 $(TJP)_{TPM_Dynamic}$ ，完整表示为： $(vTPM\ Builder \rightarrow vTPM-VM\ Binding \rightarrow VM\ Builder)_{TPM_Dynamic}$ 。在这两种情况下 $Ver_{TJP} := Verify(TJP, TC_{TJP})$ 表示对外验证可信衔接点所声称的信任属性 TC_{TJP} ，使远程验证者 R 相信 TVP-QT 的可信衔接点拥有这样的信任链属性 TC_{TJP} ； TC_{vTPM} 表示基于硬件信任根构建的用户虚拟机信任根 vTPM，值得注意的是，vTPM 的信任属性与其实现方式密切相关，它可能实现为一个微内核系统或一个应用进程，而且需要建立 vTPM 与 TPM 之间的强依赖关系，以硬件信任根保障 vTPM 的可信。TJP 到 vTPM 的信任传递，既可以采用静态度量，也可以采用动态度量，其信任传递的过程为： $(TJP \rightarrow vTPM)_{TPM_Static}$ 或 $(TJP \rightarrow vTPM)_{TPM_Dynamic}$ 。
 $Ver_{vTPM} := Verify(vTPM, Ver_{vTPM})$ 表示对外验证 vTPM 所声称的信任属性 TC_{vTPM} ，使远程验证者 R 相信 TVP-QT 的 vTPM 拥有这样的信任链属性 TC_{vTPM} ；

(3) 用户虚拟机 vm 的信任属性类似主机 m 的信任属性类似，表示为 $TP_{vm} := \{TC_{vm}, Ver_{vm}\}$ ，其中 TC_{vm} 表示基于 vTPM 构建的信任链，在创建 vm 时需

采用动态度量方式对 TJP 进行度量，vm 从初始化到应用的可信启动过程：

$(TJP)_{TPM_Dynamic} \rightarrow \{INIT \rightarrow VBIOS \rightarrow VOSLoader \rightarrow VMOS \rightarrow APP\}_{vTPM_Static}$

$Ver_{vm} := Verify(vm, TC_{vm})$ 表示 vm 信任链的外部验证。

显然，相对于已有的 TVP 信任链模型，本文提出的 TVP-QT 信任链模型具有如下特点：

(1) TVP-QT 信任链模型具有瀑布特征。TJP 将分离的两条信任链链接起来，保证 TVP-QT 信任链构建的连贯性，起到承上启下的作用。

(2) TVP-QT 信任链模型具有动态性和层次性。动态性主要体现在两个方面，其一，从时间上看 ms 的信任链和 vm 的信任链是两条分离的信任链；其二，可信衔接点 TJP 在 ms 启动时采用的是静态度量，而在 vm 创建时，需要动态度量。这是因为为了防止 ms 内的恶意程序对 TJP 进行篡改，破坏新创建 vm 的可信性。层次性主要体现在 ms 的信任链是基础，处于底层，而各 vm 的信任链是信任扩展，处于顶层。底层信任链和顶层信任链通过衔接点 TJP 链接，保证顶层信任链到顶层信任链的信任扩展。

(3) TVP-QT 信任链模型解决了虚拟平台信任链与虚拟机信任链的衔接问题。虚拟化平台存在两条信任链，其一是虚拟平台在启动时的信任链，其二是客户虚拟机在启动时的信任链，这两条信任链在度量层次和度量时间上均是分离。这两条信任链如何衔接？已有的 TVP 信任链模型对这个问题没有具体回答，比较笼统；但是 TVP-QT 信任链模型回答得比较具体和清楚。

3.3 基于 Xen 的实例系统分析与讨论

为了在实际系统中检验 TVP-QT 及其信任链，本文选择已经构建的实例系统进行分析。该实例系统基于 Xen 半虚拟化平台，如图 3.3；

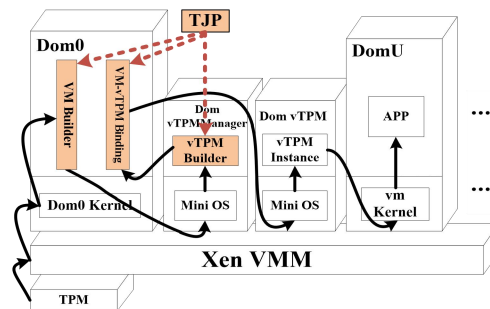


图 3.3 基于 Xen 的 TVP-QT 系统

其中，vRT 被分散在 Dom0、vTPMmanager 域和 vTPM 域。本节本文根据第 3.2 节中对 TVP-QT 信任链的描述：第一层硬件 TPM (CRTM) → 第二层 TCB (BIOS → OSLoader → VMM → Dom0 Kernel) → 第三层可信衔接点 (vTPM Builder → vTPM-VM Binding → VM Builder) → 第四层 vTPM (vTPM 实例) → 第五层可信虚拟机 (VBIOS → VOSLoader → VMOS → APP)，将 TVP-QT 信任链分为三部分，第一部分就是虚拟化平台，包括 TVP-QT 信任链的第一层和第二层，第二部分是可信衔接点 TJP，就是 TVP-QT 信任链的第三层，第三部分是用户虚拟机，就是 TVP-QT 信任链的第四层和第五层。接下来本文结合 Xen 4.4 系统，对这三部分信任链进行实际的分析与讨论。

对于第一部分，在 Xen 平台硬件加电启动之后，把 CRTM 作为整个信任链的起点，并由 CRTM 首先度量物理平台 BIOS 和其他有关 BIOS 的配置，然后 BIOS 获得系统的控制权并度量 Xen 的引导程序 Grub，主要度量 grub-xen(head.S, trampoline.S, x86_32.S)，Grub 获得控制权后会根据 Xen 的镜像头信息获得入口地址 Ox 10000 后读入 Xen 的镜像，并对此镜像和 __startxen() 并进行度量，然后把控制权交给 Xen，Xen 获得信任之后对 Dom0 相关组件进行度量，包括 construct_dom0()、_start_32_、start_Kernel 和 LinuxOS 镜像等。然后把控制权交给 Dom0。至此，第一部分可信引导结束。

对于第二部分，Dom0 Kernel 获得控制权后首先度量 TJP 的 vTPM Builder，包括 Xen 中创建 vTPMManager 域的配置文件 (.cfg)、vTPM Manger 域（主要是 MiniOS 镜像文件和 vTPM Manger 程序）以及启动 vTPM 的 vtpm-common.sh、vtpm-impl.sh 等组件。然后把控制权交给 vTPM Builder，vTPM Builder 获得控制权，对 TJP 的 vTPM-VM Binding 进行度量，包括 Xen 中 xl、xenstore、vtpmd、tpm-xen、vtpm_manager_handle 等针对 vTPM-VM 绑定的组件。随后 vTPMBuilder 把控制权交给 vTPM-VM Binding，vTPM-VM Binding 获得控制权后，对 TJP 的最后的组件 VM Builder 进行度量，包括 Xen 的 xl、libxl (Xen4.1 之后 xl 作为默认的管理工具) 等创建虚拟机所需的组件以及创建虚拟机的配置文件 (.cfg) 和虚拟机的镜像文件 (.img)。完成 VM Builder 可信度量后，VM Builder 获得信任链控制权。至此，第二部分可信信任链传递结束。

对于第三部分，完成度量 VM Builder 后，可以采用两种方法对 vTPM 进行度量，其一是静态度量，其二是动态度量。如果采用静态度量，控制权在 VM Builder，如果采用动态度量，则控制权在物理 TPM。但无论是静态度量还是动态度量，度量的对象都是 vTPM 实例域，包括 vTPM 实例域的配置文件(.cfg)以及启动文件(.img)和 Mini OS、tpm instance 等组件。由于目前较新的 DRTM 机制对其保护的应用有诸多限制，比如要求受保护的代码自包含等，因此本文采用对 vTPM 实例域采用静态度量方式。VM Builder 完成对 vTPM 实例域的度量后，把控制权交给 vTPM 实例域，vTPM 实例域获得控制权，对最后的 DomU 部分进行可信度量，包括 DomU 启动的内核所需启动信息页的有关的 xen.h、start_info、qemu-dm、qemu-xen、pc-bios 等组件和 linux 镜像文件进行度量。需要说明的是，Xen 中虚拟机有关的 BIOS、引导等组件是利用封装在 Xen 中的 Qemu 实现的，所以需要 Xen 中 Qemu 重要组件进行可信度量，如 qemu-io、qemu-img 等。在 DomU 启动相关组件完成度量之后，可信虚拟平台最后一部分信任链完成可信度量和信任传递。

以上述实例系统为例，本文完整展示了本文建立的通用抽象模型。值得注意的是，本实例系统的信任链得以正确传递需要满足以下前提：

(1) 必须保障 $vRT:=TJP+vTPM$ 自身的可信。在实例系统中，可信衔接点 TJP 包含的组件比较多，不仅大量应用程序、支持库和大量配置文件，而且还涉及 Dom0、vTPM manager 和 vTPM 等域，需要度量的内容多，不允许出现遗漏，特别是 TJP 和 vTPM 关键的组件和配置文件必须是被度量的对象。

(2) 必须确保 TJP 中的 vTPM Builder、vTPM-VM Binding、VM Builder 三个管理程序在启动时按顺序执行。尽管 vTPM Builder、vTPM-VM Binding 和 VM Builder 是 Dom0 中的应用程序，但必须保证按顺序执行才能度量结果。

3.4 实验及结果分析

本文基于 Xen 实现了 TVP-QT 的原型系统，并进行仿真实验和结果分析，对 TVP-QT 信任链进行有效性验证和性能测试。下面对仿真实验的环境进行描述。

3.4.1 实验环境

本文使用 TPM-Emulator 对 TPM 功能进行仿真模拟，实验的 Xen VMM 版本

为 Xen4.4.0，实验物理平台的配置为 Intel Core i3 @3.4GHz 处理器，内存为 8GB，物理存储为 1T。Dom0 采用 Ubuntu LTS14.04，内核版本为 Linux3.19.0，DomU 使用类型为 Ubuntu LTS14.04 的半虚拟化虚拟机，内存为 4GB，并且部署不同的应用作为仿真实验的测试对比。

下表为 TVP-QT 实验环境所用物理平台和 DomU 类型为 Ubuntu 的具体配置信息：

表 3.2 物理平台 (Dom0) 和用户虚拟机 (DomU-Ubuntu) 配置

配置项	物理平台(Dom0 特权域)	用户虚拟机(DomU-Ubuntu)
CPU	Intel Core i3 @3.4GHz	Intel Core i3 @3.4GHz
内核版本	Linux3.19.0	Linux3.19.0
内存	8G	4G
二级缓存	4M	4M
硬盘容量	1T	30G

以下图示表示在 Dom0 上创建 DomU 类型为 Ubuntu LTS14.04 的配置文件部分参数，以及实验所需 vTPMManager 域以及 vTPM 实例域的配置参数。

图 3.4 为类型为 Ubuntu 的用户虚拟机配置：

UbuntuTest1.cfg

```
Kernel = "/boot/vmlinuz-3.19.0-25-generic"
ramdisk = "/root/xen-image/UbuntuTest1.img"
name = "UbuntuTest1"
memory = "4096"
disk = [ 'file:/root/xen-image/UbuntuTest1.img,sda1,w' ]
vtpm=["backend=vtpm-UbuntuTest1"]
.....
```

图 3.4 DomU-Ubuntu 配置部分参数

图 3.5 为 UbuntuTest1 对应的 vTPM 实例配置文件：

vtpm-UbuntuTest1.cfg

```
name="vtpm-UbuntuTest1"
Kernel="/usr/lib/xen/boot/vtpm-stubdom.gz"
extra="loglevel=debug"
memory=8
disk=["file://root/xen-images/vtpm-UbuntuTest1.img,sda1,w"]
```

```

vtpm=["backend=vtpmmgr,uuid=ac0a5b9e-cbe2-4c07-b43b-1d69e46fb839"]
.....

```

图 3.5 Ubuntu vTPM 实例配置部分参数

图 3.6 为 vTPMManager 域配置文件：

vtpmmgr.cfg

```

name="vtpmmgr"
Kernel="/usr/lib/xen/boot/vtpmmgr-stubdom.gz"
extra="tpml locality=2"
memory=8
disk=["file:file://root/xen-images/vtpmmgr-stubdom.img,hda,w"]
iomem=["fed42,1"]
.....

```

图 3.6 vTPMManager 配置文件部分参数

3.4.2 TVP-QT 信任链构建

TVP-QT 信任链在此虚拟化平台进行有效性测试时，利用哈希函数对信任链各层次的构建模块、功能组件或文件进行哈希值存储。按照 TCG 标准，采用迭代计算 Hash 值的方法对 PCR 进行扩展操作，将 PCR 的现值与新值相连，计算 Hash 值作为新的完整性度量值存储到 PCR 中，描述如下：

$$\text{New PCR}_i = \text{Hash}(\text{Old PCR}_i \parallel \text{New Value}),$$

其中，Hash 函数选用 SHA-1， \parallel 表示连接符号。在实验中成功运行虚拟机 UbuntuTest1。按照下表的顺序对 PCR 进行存储。其中 PCR[0]-[7] 存储 TVP-QT 信任链第一层到第二层 TCB 的可信度量信息；PCR[8]-PCR[10] 分别存储信任链中可信衔接点三个重要的组件的度量信息；PCR[11]-PCR[15] 存储 vTPM 实例域和用户虚拟机信任链度量信息。具体的存储如表 3.3 所示：

表 3.3 仿真实验 PCR 存储简述

寄存器	存储内容	功能层次
PCR[0]-PCR[7]	BIOS 代码 可信云平台配置信息 Xen 引导 xen-grub (head.S, trampoline.S, x86_32.S 等) Xen VMM 内核代码(Xen Kernel) Dom0OS 启动相关信息 (construct_dom0(), _start_32_, start_kerne 等) Dom0 OS Kernel	第一层: 硬件 TPM 第二层: TCB
PCR[8]	MiniOs 及 vTPMManager 配置文件(vTPM Builder, .cfg、.img 以及 vtpm-common.sh、vtpm-impl.sh 等组件)	第三层: 可信衔接点
PCR[9]	负责 vTPM-VM 相关组件 (xl、xenstore、vtpmd、tpm-xen、vtpm_manager_handle 等组件)	
PCR[10]	VM 配置文件(VM Builder, xl、libxl 以及.cfg、.img 等组件)	
PCR[11]	MiniOs 及 vTPM 实例域 (.cfg,.img,tpm instance 等组件)	第四层: vTPM
PCR[12]	VBIOS 及其他虚拟 BIOS 配置信息(qemu-dm、qemu-xen、pc-bios 等组件)	第五层: 可信虚拟机部
PCR[13]	VOSLoader(虚拟机启动引导文件), 如 Linux 系统的 initrd 和 vmlinuz 文件。	分
PCR[14]	VM 启动的其他信息 (xen.h、start_info、qemu-io、qemu-img 等组件)	
PCR[15]	VM 中的应用程序	

按照 TVP-QT 信任链顺序存储的信任链信息结果如图 3.7 所示。只要程序或者文件不发生任何变化, 即使反复执行或者查看, 信任链中不会重复记录程序或者文件的哈希值, 哈希值也不会发生变化。而一旦程序或者文件内容发生变化, 下次执行该程序或者打开该文件时, 就不可避免的在信任链中留下痕迹, 用户虚拟机使用者就可以据此判断平台状态是否可信。

```

PCR-00: 9C 13 A1 B3 22 E3 45 83 8C 5C 98 93 BD 86 1E A0 E2 93 70 B2
PCR-01: CA A9 30 B0 BD A6 89 AD 34 5C D2 E8 34 E0 D4 DB 1A ED BA 6B
PCR-02: 52 28 26 8C C6 5D 0D DE A6 6A 7A 44 D6 43 CC 3B 94 12 4B 8B
PCR-03: 4C 0D 09 E4 A8 4A 99 C8 D4 4B 03 C8 04 9E 6B 7A 6C CA 80 8B
PCR-04: 79 66 DE E1 CE A9 8A D8 C9 18 3D 0A A8 5A 81 B3 46 A8 BC 7E
PCR-05: 18 B6 97 B2 51 AE 55 64 EB 30 3E 45 A8 75 CA 75 E4 55 60 C1
PCR-06: 75 A0 BC CE BA AD 26 62 AE 13 84 6B 3C E5 A4 76 39 48 75 4A
PCR-07: 8A CC A9 56 BB 56 73 5E 23 06 0A 3B B4 1B BC CC 0B 75 E7 D0
PCR-08: 42 90 7E 6A C2 D2 4B A2 50 B6 12 67 35 45 44 DE E7 B5 E0 5C
PCR-09: 55 55 32 9B 9D 0C 16 BC 00 BC 92 2D 14 64 36 64 7D 83 24 AA
PCR-10: 81 86 58 BC 9E 11 10 E3 49 51 40 B6 AD 15 C2 98 95 C0 C6 48
PCR-11: 64 6B EB 2B BE 56 73 C1 72 C5 16 47 21 AB 96 33 6D 13 49 42
PCR-12: 49 10 BC 27 C7 65 AC DD 9E 04 AA 7D CE 78 D1 90 1C 93 D4 6C
PCR-13: 1E 75 0C 61 67 DB 23 42 50 64 1E B1 B7 43 BC D5 CD 08 4D 49
PCR-14: AE 12 74 B6 7B 9B 95 7C CE 07 01 8B 09 9D 2C AA 45 CA 18 A3
PCR-15: 32 34 E2 BA 57 A7 79 E5 04 54 21 7D D3 92 EB 83 A7 A5 1D 53
PCR-16: FF FF FF FF FF FF FF FF FF FF FF FF FF FF FF FF FF FF FF
PCR-17: FF FF FF FF FF FF FF FF FF FF FF FF FF FF FF FF FF FF FF
PCR-18: FF FF FF FF FF FF FF FF FF FF FF FF FF FF FF FF FF FF FF
PCR-19: FF FF FF FF FF FF FF FF FF FF FF FF FF FF FF FF FF FF FF
PCR-20: FF FF FF FF FF FF FF FF FF FF FF FF FF FF FF FF FF FF FF
PCR-21: FF FF FF FF FF FF FF FF FF FF FF FF FF FF FF FF FF FF FF
PCR-22: FF FF FF FF FF FF FF FF FF FF FF FF FF FF FF FF FF FF FF
PCR-23: FF FF FF FF FF FF FF FF FF FF FF FF FF FF FF FF FF FF FF
root@k8s-node-1:~#

```

图 3.7 信任链 PCR 信息

本文在实验中人为的对虚拟机启动的配置文件添加一些无用的注释，实验结果如下，由图看出，针对于可信衔接点的 PCR 信息已经发生改变。

```

PCR-00: 9C 13 A1 B3 22 E3 45 83 8C 5C 98 93 BD 86 1E A0 E2 93 70 B2
PCR-01: CA A9 30 B0 BD A6 89 AD 34 5C D2 E8 34 E0 D4 DB 1A ED BA 6B
PCR-02: 52 28 26 8C C6 5D 0D DE A6 6A 7A 44 D6 43 CC 3B 94 12 4B 8B
PCR-03: 4C 0D 09 E4 A8 4A 99 C8 D4 4B 03 C8 04 9E 6B 7A 6C CA 80 8B
PCR-04: 79 66 DE E1 CE A9 8A D8 C9 18 3D 0A A8 5A 81 B3 46 A8 BC 7E
PCR-05: 18 B6 97 B2 51 AE 55 64 EB 30 3E 45 A8 75 CA 75 E4 55 60 C1
PCR-06: 75 A0 BC CE BA AD 26 62 AE 13 84 6B 3C E5 A4 76 39 48 75 4A
PCR-07: 8A CC A9 56 BB 56 73 5E 23 06 0A 3B B4 1B BC CC 0B 75 E7 D0
PCR-08: AD CB 11 58 82 63 47 46 19 4D B5 44 1A 97 CE 5B 4B 6C 82 B2
PCR-09: 55 55 32 9B 9D 0C 16 BC 00 BC 92 2D 14 64 36 64 7D 83 24 AA
PCR-10: 81 86 58 BC 9E 11 10 E3 49 51 40 B6 AD 15 C2 98 95 C0 C6 48
PCR-11: 64 6B EB 2B BE 56 73 C1 72 C5 16 47 21 AB 96 33 6D 13 49 42
PCR-12: 49 10 BC 27 C7 65 AC DD 9E 04 AA 7D CE 78 D1 90 1C 93 D4 6C
PCR-13: 1E 75 0C 61 67 DB 23 42 50 64 1E B1 B7 43 BC D5 CD 08 4D 49
PCR-14: AE 12 74 B6 7B 9B 95 7C CE 07 01 8B 09 9D 2C AA 45 CA 18 A3
PCR-15: 32 34 E2 BA 57 A7 79 E5 04 54 21 7D D3 92 EB 83 A7 A5 1D 53
PCR-16: FF FF FF FF FF FF FF FF FF FF FF FF FF FF FF FF FF FF FF
PCR-17: FF FF FF FF FF FF FF FF FF FF FF FF FF FF FF FF FF FF FF
PCR-18: FF FF FF FF FF FF FF FF FF FF FF FF FF FF FF FF FF FF FF
PCR-19: FF FF FF FF FF FF FF FF FF FF FF FF FF FF FF FF FF FF FF
PCR-20: FF FF FF FF FF FF FF FF FF FF FF FF FF FF FF FF FF FF FF
PCR-21: FF FF FF FF FF FF FF FF FF FF FF FF FF FF FF FF FF FF FF
PCR-22: FF FF FF FF FF FF FF FF FF FF FF FF FF FF FF FF FF FF FF
PCR-23: FF FF FF FF FF FF FF FF FF FF FF FF FF FF FF FF FF FF FF
root@k8s-node-1:~#

```

图 3.8 修改 VM 配置文件后的 PCR 信息

3.4.3 TVP-QT 性能测试及分析

与已有的 TVP 信任链模型相比，TVP-QT 信任链模型增加了可信衔接点 TJP。TJP 包含的组件 vTPM Builder、vTPM-VM Builder 和 VM Builder 无论作为 Dom0 的内核组件还是作为 Dom0 的应用，均需要再独立度量，因此，无论是对底层 m 信任链的构建还是顶层 vm 信任链的构建均会带来额外的开销。对于底层 m 信任链的构建，TVP-QT 信任链模型比已有的 TVP 信任链模型增加了对 TJP 的静态度量；对于顶层 vm 信任链的构建，TVP-QT 信任链模型比已有的 TVP 信任链模型增加了对 TJP 的动态度量。

为此本文首先针对 TVP-QT 信任链构建过程中有关主机 m 的信任链构建进行

性能测试和结果分析，并与传统的 TVP 架构（图 3.1 所示）进行对比；然后针对 TVP-QT 信任链构建过程中有关 vm 的信任链构建进行性能测试和结果分析。值得注意的是，与传统的 TVP 信任链相比，vm 信任链的构建过程仅仅多了对 TJP 的动态度量。

本节性能测试的实验环境采用表 3.2 所描述的物理平台 Dom0(Ubuntu LTS 14.04)和用户虚拟机 DomU(Ubuntu LTS 14.04)，并且在 Dom0 和 DomU 分别安装一些常用软件来模拟云计算开发环境和云用户环境，比如 Firefox^[58]、Wine^[59]、WPS for Linux^[60]、Eclipse^[61]等。下面本文分别针对在 TVP-QT 和传统 TVP 下 m、vm 的信任链构建实验，对性能方面进行对比和分析。

（1）信任链构建的性能分析

传统 TVP 信任链中主机 m 的信任链构建过程为：

CRTM→BIOS→OSLoader→VMM→Dom0 OS Kernel →app；

TVP-QT 中主机 m 的信任链构建过程：

CRTM→BIOS→OSLoader→VMM→Dom0 OS Kernel →vTPM Builder
→vTPM-VM Binding→VM Builder→ other_app

本文对以上两条信任链进行 10 次实验，并记录每次的完成时间。如图 3.9 所示。

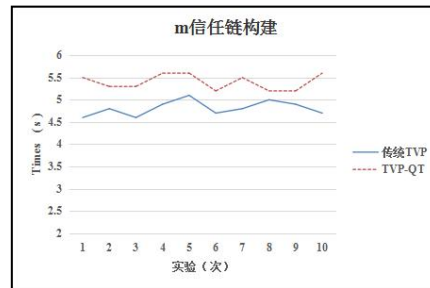


图 3.9 m 信任链构建时间

由图 3.9 可知，虽然 TVP-QT 在主机 m 上比传统 TVP 多了 TJP 的静态度量，但是在时间上并没有太大的多余开销，对可信虚拟的运行影响不大。所以，TJP 的引入可以在保证可信虚拟平台 m 相关组件实现完整度量的情况下，不会给平台带来太多的开销。

（2）vm 信任链构建的性能分析

传统 TVP 信任链中 vm 的信任链构建过程为：

INIT→VBIOS→VOSLoader→VMOS→APP

TVP-QT 中主机 vm 的信任链构建过程：

(TJP)_{TPM_Dynamic}→vTPM→VBIOS→VOSLoader→VMOS→APP

本文对以上两条信任链进行 10 次，并记录每次的完成时间。如图 3.10 所示。

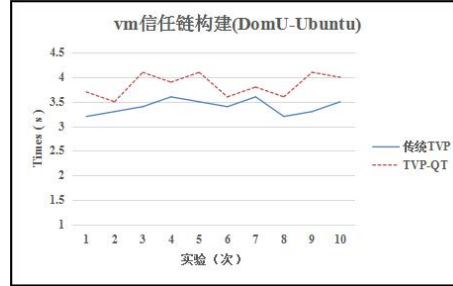


图 3.10 vm 信任链构建时间

由图 3.10 可知，TVP-QT 相比传统 TVP 下对 vm 的信任链构建过程，也仅仅多了由 TJP 带来的额外开销，可以保证对 vm 可信度量后的正常启动。

综上对 TVP-QT 与 TVP 信任链构建过程的对比实验来看，带有可信衔接点 TJP 的可信虚拟平台 TVP-QT 能够保证在对整个平台带来足够小的开销的情况下实现对平台的可信度量，保证了虚拟化环境的安全可信。

3.5 本章小结

本章为了解决已有 TVP 模型过粗且逻辑不完全合理，而且还存在底层虚拟化平台和顶层用户虚拟机两条分离的信任链等问题，提出了一种具有可信衔接点的 TVP-QT 模型，并对 TVP-QT 中的功能组件及其信任属性进行详细定义，并结合可信衔接点在 TVP-QT 建立从虚拟化平台硬件 TPM 开始的完整信任链模型 TVP-QT 信任链。最后，本章基于 Xen VMM 实现了 TVP-QT 原型系统，并对信任链 TVP-QT 信任链的构建过程进行了详细的描述，通过仿真实验对 TVP-QT 及其信任链的有效性和性能等进行了测试，证明了该信任链的正确性和有效性。

4 基于 LS² 的 TVP-QT 信任链分析

针对信任链的形式化建模和分析可以确保可信虚拟平台的可验证性。本文将采用已有的形式化分析方法“安全系统逻辑 (Logic of Secure System, LS²)”对 TVP-QT 信任链模型进行形式化分析。

4.1 基本假定

在对 TVP-QT 信任链属性进行形式化分析前, 本文假定以下条件是成立的:

(1) TVP 中各个层次的系统镜像文件 (包括主机 m 以及用户虚拟机层次上的各个用户虚拟机 VM) 的完整性未受破坏, 并且各个用户虚拟机都预先植入所需要的可信度量和证明代理功能组件; (2) 主机 m 支持动态加载动态度量根 DRTM 技术, 能够为 TJP 和 vTPM 提供动态的可信运行环境; (3) vTPM 的平台身份密钥 (Attestation Identity Key, AIK) 已得到可信第三方的认证并颁发证书, 这里不考虑其具体实现方案; (4) 远程验证方案基于 TCG 组织给出的完整性报告协议, 且在远程挑战者 R 与本地 TVP 之间已经建立了安全信道^[26]。

从 3.2 的分析可知, 本文对 TVP-QT 信任链的信任属性分析验证主要包括 3 部分:

- (1) m 信任链构建的验证及该信任链的远程验证 (含 TJP);
- (2) TJP 动态度量验证及远程验证;
- (3) 利用 vTPM 构建的 vm 信任链验证及远程证明;

在这 3 部分中, 对 (3) 的验证分析与文献[26]相同, 具体过程读者可参见文献[26], 本文不再论述; 下面本文只对 (1) (2) 进行验证分析。

4.2 m 信任链的本地验证及远程证明

4.2.1 本地程序执行

根据 3.2 节对 TVP 中 m 信任属性 TP_m 定义以及 TP_{vRT} 中对 TC_{TJP} 的定义, 其信任链本地执行过程中涉及到的程序如图 4.1 所示。

$SRTM(m)$	$\equiv b = \text{read } m.bios_loc$ Extend $m.pcr.s, b$; Jump b
$BIOS(m)$	$\equiv o = \text{read } m.os_loader_loc$ Extend $m.pcr.s, o$;

	Jump o
$OSLoader(m)$	$\equiv v = \text{read } m.vmm_loc$ Extend $m.pcr.s, v$; Jump v
$VMM(m)$	$\equiv d = \text{read } m.dom0_Kernel_loc$ Extend $m.pcr.s, d$; Jump d
$Dom0\ Kernel(m)$	$\equiv vb = \text{read } m.tjp_loc$ Extend $t.pcr.s, t$; Jump vb
$vTPM\text{-}Builder(m)$	$\equiv vv = \text{read } m.vtpm\text{-}vm\text{-}binding_loc$ Extend $m.pcr.s, vv$; Jump vv
$vTPM\text{-}VM\ Binding(m)$	$\equiv vmb = \text{read } m.vm\text{-}builder_loc$ Extend $m.pcr.s, vmb$; Jump vmb
$VM\text{-}Builder(m)$	$\equiv o_app = \text{read } m.o_app_loc$ Extend $m.pcr.s, o_app$; Jump o_app
$Other_APP(m)$	$\equiv \dots$

图 4.1 TVP-QT 中 m 信任链传递

程序执行流程: m 首先从 CRTM 启动执行, 它从主机内存地址 $m.bios_loc$ 中读取 BIOS 的代码 b , 将其扩展到一个 PCR 中 (其中, $m.pcr.s$ 表示该主机在这里存储所有相关度量值, 且该主机的度量值存储于静态度量的 PCR 中), 之后执行指令 Jump b ; 然后 CRTM 将控制权传递给 m 的 BIOS, 它从主机内存地址 $m.os_loader_loc$ 中读取的 OS Loader 代码 o , 将其扩展到一个 PCR 中, 之后执行指令 Jump o , 将控制权交给 OSLoader; OSLoader 继续按序从内存 $m.vmm_loc$ 读取 VMM 的代码 v , 将其扩展到 $m.pcr.s$, 然后转换控制权给 VMM, VMM、Dom0 Kernel 执行相似流程, 直到可信衔接点 TJP 的加载。

4.2.2 本地可信属性描述

由上文描述的信任链传递所涉及的程序执行过程可知, 体现主机 m 信任链的是主机进行可信度量后的 PCR 值, 它与执行程序之间存在着唯一确定的映射关系。因此, 基于定义 3.2 及上述映射关系, 可将 m 的本地信任传递属性归纳为: 如果可信度量后的 PCR 中度量值序列是正确的值, 那么在该虚拟机上信任链所加载的程序顺序就是正确的。即 m 的本地信任传递属性就是要求所有相应启动程序如 BIOS、OSLoader、VMM、Dom0 Kernel、vTPM Builder、vTPM-VM Binding、VM

Builder 等都能按确定的先后顺序加载。以 LS² 将这种顺序形式化表示为

$$\begin{aligned}
& \text{MeasuredBoots}_{\text{SRTM}}(m, t) = \\
& \exists t_s. \exists t_b. \exists t_o. \exists t_v. \exists t_d. \exists t_{vb}. \exists t_{vv}. \exists t_{vmb}. \exists t_{o_app} \wedge \\
& \exists J. (t_s < t_b < t_o < t_v < t_d < t_{vb} < t_{vv} < t_{vmb} < t_{o_app} < t) \\
& \wedge (\text{Reset}(m, J) @ t_s) \wedge (\text{Jump}(J, \text{BIOS}(m)) @ t_b) \\
& \wedge (\text{Jump}(J, \text{OSLoader}(m)) @ t_o) \wedge (\text{Jump}(J, \text{VMM}(m)) @ t_v) \\
& \wedge (\text{Jump}(J, \text{Dom0_Kernel}(m)) @ t_d) \\
& \wedge (\text{Jump}(J, \text{vTPM-Builder}(m)) @ t_{vb}) \\
& \wedge (\text{Jump}(J, \text{vTPM-VM Binding}(m)) @ t_{vv}) \\
& \wedge (\text{Jump}(J, \text{VM-Builder}(m)) @ t_{vmb}) \\
& \wedge (\text{Jump}(J, \text{VM-Builder}(m)) @ t_{o_app}) \\
& \wedge (\neg \text{Reset}(m) \text{ on } (t_s, t]) \wedge (\neg \text{Jump}(J) \text{ on } (t_s, t_b)) \\
& \wedge (\neg \text{Jump}(J) \text{ on } (t_b, t_o)) \wedge (\neg \text{Jump}(J) \text{ on } (t_o, t_v)) \\
& \wedge (\neg \text{Jump}(J) \text{ on } (t_v, t_d)) \wedge (\neg \text{Jump}(J) \text{ on } (t_d, t_{vb})) \\
& \wedge (\neg \text{Jump}(J) \text{ on } (t_{vb}, t_{vv})) \wedge (\neg \text{Jump}(J) \text{ on } (t_{vv}, t_{vmb})) \\
& \wedge (\neg \text{Jump}(J) \text{ on } (t_{vmb}, t_{o_app}))
\end{aligned}$$

上述公式表示：如果 TVP 的 m 基于信任链构建了本地信任环境，则其启动过程一定是从 BIOS 跳转到 OSLoader，从 OSLoader 到 VMM，从 VMM 到 Dom0_Kernel，然后 Dom0_Kernel 到 TJP，而在此期间不会有其他程序执行。这就需要证明上述程序启动序列与 PCR 值之间的一一映射关系。基于前文的假定前提，要证明的信任链本地信任属性如下。

定理 4.1 如果 m 从 CRTM 启动运行，且与该 m 启动过程对应的 PCR 值为

$$\begin{aligned}
& seq(\text{BIOS}(m), \text{OSLoader}(m), \text{VMM}(m), \text{Dom0_Kernel}(m), \\
& \text{vTPM_Builder}(m), \\
& \text{vTPM-VM Binding}(m), \text{VM Builder}(m)),
\end{aligned}$$

那么该 m 的本地信任链传递过程就是唯一的、正确的，即确定地从 $\text{BIOS}(m)$ 到 $\text{OSLoader}(m)$ 再 $\text{VMM}(m)$ 、 $\text{Dom0_Kernel}(m)$ 、 $\text{vTPM_Builder}(m)$ 、 $\text{vTPM-VM Binding}(m)$ 、 $\text{VM Builder}(m)$ 。该信任属性形式化表示为

$$\text{ProtectedSRTM}(m) +$$

$\text{Mem}(m.pcr.s, seq(\text{BIOS}(m), \text{OSLoader}(m), \text{VMM}(m), \text{Dom0_Kernel}(m), \text{vTPMBuilder}(m), \text{vTPM-VM Binding}(m), \text{VM Builder}(m))) \supset \text{MeasuredBoots}_{\text{SRTM}}(m, t)$

证明： 本文按照以下步骤进行证明：

首先，由前提条件可知在时间点 t ，有

$\text{Mem}(m.pcr.s, seq(\text{BIOS}(m), \text{OSLoader}(m), \text{VMM}(m), \text{Dom0_Kernel}(m), \text{vTPMBuilder}(m), \text{vTPM-VM Binding}(m), \text{VM Builder}(m)))$

成立，反复利用 PCR 公理即可直接得到在该序列中的所有子序列一定在时间 t 之前就出现在 $m.pcr.s$ 中，即：

$$\begin{aligned}
 & \exists t_s, t_1, t_2, t_3, t_4, t_5, t_6, J. (t_s \leq t_1 < t_2 < t_3 < t_4 < t_5 < t_6 < t) \wedge \\
 & (\text{Mem}(m.pcr.s, seq(\text{BIOS}(m), \text{OSLoader}(m), \text{VMM}(m), \text{Dom0_Kernel}(m), \text{vTPMBuilder}(m), \text{vTPM-VM Binding}(m), \text{VM Builder}(m))) @ t) \\
 & \wedge (\text{Mem}(m.pcr.s, seq(\text{BIOS}(m), \text{OSLoader}(m), \text{VMM}(m), \text{Dom0_Kernel}(m), \text{vTPMBuilder}(m), \text{vTPM-VM Binding}(m)) @ t_6) \\
 & \wedge (\text{Mem}(m.pcr.s, seq(\text{BIOS}(m), \text{OSLoader}(m), \text{VMM}(m), \text{Dom0_Kernel}(m), \text{vTPMBuilder}(m), @ t_5) \\
 & \wedge (\text{Mem}(m.pcr.s, seq(\text{BIOS}(m), \text{OSLoader}(m), \text{VMM}(m), \text{Dom0_Kernel}(m))) @ t_4) \\
 & \wedge (\text{Mem}(m.pcr.s, seq(\text{BIOS}(m), \text{OSLoader}(m), \text{VMM}(m))) @ t_3) \\
 & \wedge (\text{Mem}(m.pcr.s, seq(\text{BIOS}(m), \text{OSLoader}(m))) @ t_2) \\
 & \wedge (\text{Mem}(m.pcr.s, seq(\text{BIOS}(m))) @ t_1) \wedge \text{Reset}(m, J) @ t_s \\
 & \wedge (\neg \text{Reset}(m) \text{on}(t_s, t) \tag{1}
 \end{aligned}$$

接下对图 4.1 中信任链的执行过程进行说明，最先执行的操作是以 CRTM 为起点启动 m ，即 $\text{Reset}(m, J)$ ，然后 m 执行第一个信任程序 $\text{BIOS}(m)$ 。利用 LS^2 规则，在某个时间 t_b ，程序会跳转到 b ，且其他时间不会有程序跳转，内存位置（即 PCR 值）被该线程锁定，即有以下属性(2)成立。

$$\begin{aligned}
 & \forall t', b, o \\
 & (((\text{Mem}(m.pcr.s, seq(\text{BIOS}, b, o))) @ t') \\
 & \wedge (t_s < t' < t)) \supset \exists t_b. ((t_s < t_b < t) \wedge (\text{Jump}(J, b) @ t_b)))
 \end{aligned}$$

$$\wedge (\text{IsLocked}(m.pcr.s, J) @ t_b) \quad (2)$$

类似地，接下来的信任程序：

OSLoader(m), VMM(m), Dom0_Kernel(m), vTPM Builder(m), vTPM-VM Binding(m), VM Builder(m),

也利用 LS² 规则，在某个时间 t_o 、 t_v 、 t_d 、 t_{vb} 、 t_{vv} 、 t_{vmb} 、 t_{o_app} ，程序会跳转到 o 、 v 、 d 、 vb 、 vv 、 vmb 、 o_app ，且其他时间不会有程序跳转，相应的内存位置（即 PCR 值）被该线程锁定，即有属性(3)、(4)、(5)、(6)、(7)、(8)、(9)成立，鉴于篇幅，这些属性略。

根据式 (2) — (9) 可知，如果前提条件满足，那么 m 上执行程序的顺序一定是从 BIOS(m)到 OSLoader(m)再到 VMM(m)、Dom0 Kernel(m)、TJP(m)。

$$\begin{aligned} & \exists t_s, t_b, t_o, t_v, t_d, t_{vb}, t_{vv}, t_{vmb}, t_{o_app} \wedge (t_s < t_b < t_o < t_v < t_d < t_{vb} < t_{vv} < t_{vmb} < t_{o_app} < t) \\ & \wedge (\neg \text{Reset}(m, J) \text{ on } (t_s, t]) \wedge \text{Reset}(m, J) @ t_s \\ & \wedge (\text{Jump}(J, \text{BIOS}(m)) @ t_b) (\neg \text{Jump}(J, \text{BIOS}(m)) \text{ on } (t_s, t_b)) \\ & \wedge (\text{Jump}(J, \text{OSLoader}(m)) @ t_o) \wedge (\neg \text{Jump}(J, \text{OSLoader}(m)) \text{ on } (t_b, t_o)) \\ & \wedge (\text{Jump}(J, \text{VMM}(m)) @ t_v) \wedge (\neg \text{Jump}(J, \text{VMM}(m)) \text{ on } (t_o, t_v)) \\ & \wedge (\text{Jump}(J, \text{Dom0_Kernel}(m)) @ t_d) \wedge (\neg \text{Jump}(J, \text{Dom0_Kernel}(m)) \text{ on } (t_v, t_d)) \\ & \wedge (\text{Jump}(J, \text{vTPM-Builder}(m)) @ t_{vb}) \wedge (\neg \text{Jump}(J, \text{vTPM-Builder}(m)) \text{ on } (t_d, t_{vb})) \\ & \wedge (\text{Jump}(J, \text{vTPM-VM Binding}(m)) @ t_{vv}) \\ & \wedge (\neg \text{Jump}(J, \text{vTPM-Builder}(m)) \text{ on } (t_{vb}, t_{vv})) \\ & \wedge (\text{Jump}(J, \text{VM Binding}(m)) @ t_{vmb}) \wedge (\neg \text{Jump}(J, \text{VM Builder}(m)) \text{ on } (t_{vv}, t_{vmb})) \\ & \wedge (\text{Jump}(J, \text{VM Binding}(m)) @ t_{o_app}) \\ & \wedge (\neg \text{Jump}(J, \text{VM Builder}(m)) \text{ on } (t_{vmb}, t_{o_app})) \quad (10) \end{aligned}$$

定理 4.1 即得证。

虽然上述证明过程未显式地描述攻击者的存在，但已经蕴含着攻击场景。比如，在 BIOS(m)之后跳转到 o 的过程中，由于 o 是从内存 $m.osloader_loc$ 读取的，而该位置可能在之前已被攻击者线程写入其他程序，但可信计算技术提供的度量扩展机制使得能够推理只有得到正确的内存值时才能继续运行下一个程序。后面的以此类推。

4.2.3 信任链远程验证

TVP-QT 的 m 需要向外部挑战者证明自己所声称信任属性，即其信任链传递过程中所执行程序的确切序列，使外部挑战者相信它的确按上述信任链构建了可信执行环境，需要证明 $\text{MeasuredBoot}_{\text{SRTM}}(m,t)$ 成立。

(1) 远程验证程序执行

首先，根据 TCG 远程证明协议规范及在虚拟化平台中的实现，给出 m 信任传递的远程验证过程中涉及到的程序，如图 4.2 所示。

$\text{TPM}_{\text{SRTM}}(m)$	$\equiv w = \text{read } m.pcr.s;$ $r = \text{sign}(\text{PCR}(s), w), \text{AIK}^{-1}(m);$ $\text{send } r$
$\text{Verifier}(m)$	$\equiv sig = \text{recieve};$ $v = \text{verify } sig, \text{AIK}(m);$ $\text{match } v, (\text{PCR}(s);$ $\text{seq}(\text{BIOS}(m), \text{OSLoader}(m), \text{VMM}(m), \text{Dom0_Kernel}(m), v\text{TPM}$ $\text{Builder}(m), v\text{TPM-VM Binding}(m), \text{VM Builder}(m))$

图 4.2 TVP-QT 中 m 信任传递的远程验证程序

首先， m 读取本地存储的 PCR 值，用自己的 AIK 签名 ($\text{AIK}^{-1}(m)$) 并将其发送给挑战者。然后，挑战者验证该签名，并用预期的度量值序列与收到的值进行对比，如果 PCR 值是匹配的，则表明该 m 拥有所声称的可信属性，否则验证失败。在此过程中远程验证者与 m 应是不同实体，以保证该验证过程的有效性。

这些前提条件形式化表示为

$$\Gamma_{\text{SRTM}} = \{ \hat{V} \neq \text{AIK}(m), \text{Honest}(\text{AIK}(m), \{ \text{TPM}_{\text{SRTM}}(m), \text{TPM}_{\text{DRTM}}(m) \}) \} \quad (11)$$

(2) 信任链属性的远程验证

根据远程证明协议执行流程，给出以下信任传递属性的远程证明目标。

定理 4.2 如果远程验证者确认 m 提供的度量值是唯一的、正确的，那么该 m 对应的 PCR 值一定是如下的确定序列

$$\text{seq}(\text{BIOS}(m), \text{OSLoader}(m), \text{VMM}(m), \text{Dom0_Kernel}(m), v\text{TPM Builder}(m), \\ v\text{TPM-VM Binding}(m), \text{VM Builder}(m)),$$

因为根据定理 4.1 可知，该序列表明 m 的确执行了相应的信任链传递过程。

形式化表示为：

$$\Gamma_{\text{SRTM}} \vdash [\text{Verifier}(m)]_V^{t_b, t_e} \exists t. (t < t_e) \wedge$$

$$\begin{aligned}
& (\text{Mem}(m.pcr.s, seq(\text{BIOS}(m), \text{OSLoader}(m), \text{VMM}(m), \\
& \text{Dom0_Kernel}(m), \text{vTPM Builder}(m), \text{vTPM-VM Binding}(m), \\
& \text{VM Builder}(m)) @ t) \quad (12)
\end{aligned}$$

$$\begin{aligned}
& \Gamma_{\text{SRTM}}, \text{Protected}_{\text{SRTM}}(m) \vdash [\text{Verifier}(m)]_V^{t_b, t_e} \exists t. (t < t_e) \\
& \wedge \text{MeasureBoots}_{\text{SRTM}}(m, t) \quad (13)
\end{aligned}$$

这两个属性有递进关系，即如果属性(12)成立，则属性(13)可以利用定理 1 的结论直接证明。因此，下面对属性(12)进行证明。

证明：首先根据前提假设及 $[\text{Verifier}(m)]_V^{t_b, t_e}$ ，利用公理 VER 可得到：

$$\begin{aligned}
& [\text{Verifier}(m)]_V^{t_b, t_e} \exists t_f, e, l. (t_f < t_e) \wedge \hat{I} = \text{AIK}^{\wedge}(m) \wedge \text{Contain}(e, \text{SIG}_{\text{AIK}(m)}^{-l}) \\
& \{ | \text{PCR}(s), seq(\text{BIOS}(m), \text{OSLoader}(m), \text{VMM}(m), \text{Dom0_Kernel}(m), \text{vTPM} \\
& \text{Builder}(m), \text{vTPM-VM Binding}(m), \text{VM Builder}(m)) | \} \wedge (\text{Sent}(l, e) @ t_f) \\
& \vee \exists l. (\text{Write}(l, e) @ t_f)
\end{aligned}$$

根据图 4.2 中的远程验证程序，建立并证明以下程序不变量：对于程序前缀 $Q \in IS(\text{CRTM}_{\text{SRTM}}(m))$ ，有以下属性成立：

$$\begin{aligned}
& [Q]_I^{t_b, t_e} (\forall l, e, t. (t \in t_b, t_e]) \supset \neg \text{Write}(J, l, e) @ t) \\
& \wedge (\forall t', e'. ((t' \in t_b, t_e]) \wedge \text{Send}(l, e') @ t') \supset (\exists e, t_R. (t_R < t') \wedge \\
& (\text{Read}(l, m.pcr.s, e'') @ t_R) \wedge e' = \text{SIG}_{\text{AIK}(m)}^{-l} \{ | \text{PCR}(s), e'' | \})
\end{aligned}$$

该属性表明在验证过程中如果本地没有写入内存的操作且发送了数据 e' ，则在之前的某时刻本地一定读取了值 e'' ，且 e' 是一个签名值。利用推理规则 SEQ 和公理 $Act1$ 证明上述不变量成立。利用诚实规则并进行简化后可得：

$$\begin{aligned}
& [\text{Verifier}(m)]_V^{t_b, t_e} \exists t_R, e, l. (t_R < t_e) \wedge \hat{I} = \text{AIK}^{\wedge}(m) \\
& \wedge \text{Contain}(e, \text{SIG}_{\text{AIK}(m)}^{-l} \{ | \text{PCR}(s), seq(\text{BIOS}(m), \text{OSLoader}(m), \text{VMM}(m), \\
& \text{Dom0_Kernel}(m), \text{vTPM Builder}(m), \text{vTPM-VM Binding}(m), \text{VM Builder}(m)) | \}) \\
& \wedge (\text{Read}(l, m.pcr.s, e'') @ t_R) \wedge e = \text{SIG}_{\text{AIK}(vm)}^{-l} \{ | \text{PCR}(s), e'' | \}
\end{aligned}$$

分别利用等值公理 Eq 和 $Read$ 公理，有

$$[\text{Verifier}(m)]_V^{t_b, t_e} \exists t_R, e'', l. (t_R < t_e) \wedge \text{Contain}(e, \text{SIG}_{\text{AIK}(m)}^{-l} \{ | \text{SIG}_{\text{AIK}(m)}^{-l} \{ | \text{PCR}(s), e'' | \} | \},$$

$$\begin{aligned} & seq(BIOS(m), OSLoader(m), VMM(m), Dom0_Kernel(m), vTPM_Builder(m), \\ & vTPM-VM_Binding(m), VM_Builder(m))) \wedge (Mem(m.pcr.s, e'')@t_R) \end{aligned} \quad (14)$$

此时需要判定 e'' 的值, 根据上述推理过程可知有两种可能:

$$\begin{aligned} & (e'' = seq(BIOS(m), OSLoader(m), VMM(m), Dom0_Kernel(m), vTPM_Builder(m), \\ & vTPM-VM_Binding(m), VM_Builder(m))) \vee \text{Contain}(e, SIG_{AIK(m)-I})\{PCR(s), \\ & seq(BIOS(m), OSLoader(m), VMM(m), Dom0_Kernel(m), vTPM_Builder(m), vTPM-VM \\ & Binding(m), VM_Builder(m))\}) \end{aligned} \quad (15)$$

根据公理 PCRC:

$$\vdash (Mem(m.pcr.s, e'')@t) \supset \neg \text{Contains}(e, SIG_K\{e'\})$$

以及 $Mem(m.pcr.s, e'')$ 存在的事实, 可知式(14)中第 2 种可能不成立, 故只有 $e'' = seq(BIOS(m), OSLoader(m), VMM(m), Dom0_Kernel(m), vTPM_Builder(m), vTPM-VM_Binding(m), VM_Builder(m))$ 成立。

利用等值公理 Eq 对式(14)进行变换可得

$$\begin{aligned} & [Verifier(m)]_V^{t_b, t_e} \exists t_R, (t_R < t_e) \wedge (Mem(m.pcr.s, seq(BIOS(m), OSLoader(m), VMM(m), \\ & Dom0_Kernel(m), vTPM_Builder(m), vTPM-VM_Binding(m), VM_Builder(m)))@t_R) \end{aligned}$$

即定理 4.2 属性式(12)得证。利用属性式(12)结论及定义 3.1, 可直接证明属性式(13)成立。

根据上述证明可知, 在 TVP-QT 信任链构建过程中, 能够有条件地保持其信任属性, 即构建信任链所需要执行的不同程序在跳转过程中, 不会被其他恶意代码所控制或插入, 从而不存在信任缺失的情况, 且这种信任属性能够向远程验证者提供证明。

4.3 可信衔接点 TJP 的本地验证及远程证明

本节根据 4.2 对 TVP-QT 中的相关定义和说明, 对可信衔接点 TJP 的动态度量机制进行本地验证和远程证明的形式化描述。

4.3.1 本地程序执行

根据 4.2 节对 TVP-QT 中 TJP 信任属性 TP_{TJP} 定义以及 TP_{vRT} 中对 TC_{TJP} 的定义, 其信任链本地执行过程中涉及到的程序如图 4.3 所示。

```
LatelaunchDTM(vTPM-Builder)  $\equiv$  vtb = read m.vTPM-Builder_loc;
                               Extend m.dpcr.d, m;
```

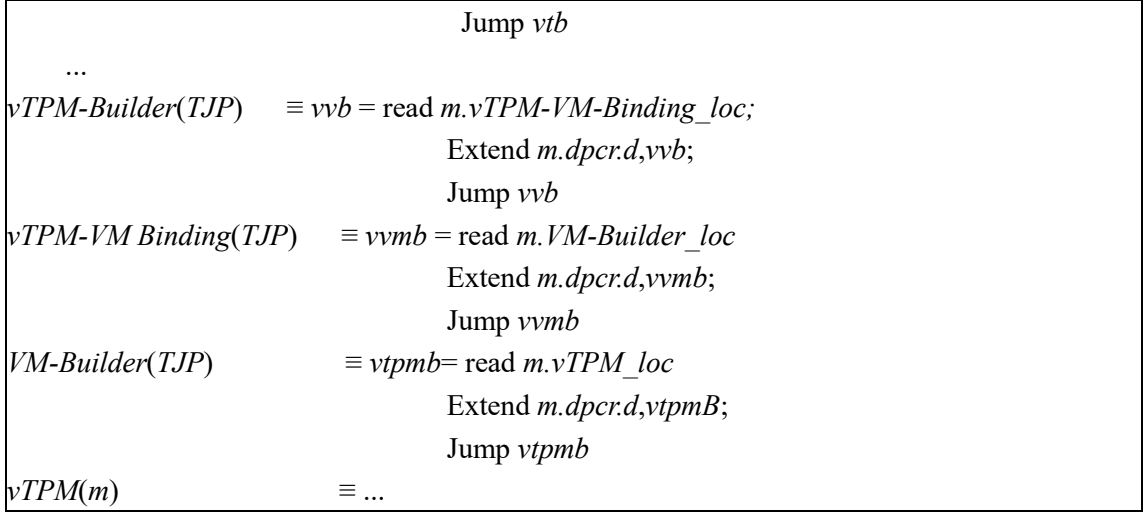


图 4.3 TVP-QT 中 TJP 信任链传递

程序执行流程：首先确保 TJP 的 vTPM Builder 能正常加载。然后利用 DRTM 度量 TJP 的三个组件 vTPM Builder、vTPM-VM Binding、VM Builder，从主机内存地址中读取 vTPM Builder 的代码，将其扩展到一个 PCR 中（其中， $m.pcr.d$ 表示 TJP 的度量值存储与动态度量的 PCR 中）；之后执行命令 **Jump vib** 将控制权交给 vTPM Builder，按照上面的过程依次度量 vTPM VM Binding、VM Builder。

在此过程中，对 TJP 的动态度量必须在 *m* 启动之后且创建 *vm* 之前，否则会导致 TJP 无法按顺序正确度量。将其表示为

$$\text{Honest}(\text{TPM}_{\text{SRTM}}(m)) \succ \text{TJP}_{\text{DRTM}}(m) \wedge \text{TJP}_{\text{DRTM}}(m) \succ \text{vTPM}_{\text{SRTM/DRTM}}(vm))。$$

此外，TVP 在启动 *m* 时，相应的线程 *K* 对必须能够对当前 *m* 对应的 PCR 值有锁控制，这种控制对潜在的攻击者也成立，表示为

$$\text{ProtectedSRTM}(m) = \forall t, K. (\text{Reset}(m, K) @ t) \supset (\text{IsLocked}((m.pcr.s, m.pcr.d), K) @ t)$$

由于 TJP 的 vTPM Builder 被抽象为一个单独的应用程序（无论其实现形式是独立的轻量级可信执行环境或仅是提供可信功能的应用进程），利用 **Latelaunch**(vTPM Builder) 动态加载机制确保其可信执行，即 K_{DRTM} 成立^[27]。

4.3.2 本地可信属性描述

基于定义 3.2 及 TJP 度量后的 PCR 和其中的每个组件存在的唯一性、确定性映射关系，可将 TJP 的本地信任传递属性归纳为：如果最终的 PCR 中度量值序列是正确的值，那么 TJP 信任链所加载的程序顺序就是正确的。即 TJP 的本地信任传递属性就是要求所有相应启动程序如 vTPM Builder、vTPM-VM Binding、VM Builder 等都能按确定的先后顺序加载。以 LS² 将这种顺序形式化表示为

$$\exists K.(t_{vib} < t_{vrb} < t_{vmb} < t_{vpm} < t)$$

$$\forall I \in m. \exists t_{vib}. \exists t_{vrb}. \exists t_{vmb}. \exists t_{vpm}.$$

$$\text{MeasuredBoot}_{\text{DRTM}}(\text{TJP}, t) =$$

$$\wedge (\text{Jump}(K, \text{vTPM Builder}(\text{TJP})) @ t_{vib})$$

$$\wedge (\text{Jump}(K, \text{vTPM-VM Binding}(\text{TJP})) @ t_{vrb})$$

$$\wedge (\text{Jump}(K, \text{VM Builder}(\text{TJP})) @ t_{vmb})$$

$$\wedge (\text{Jump}(K, \text{vTPM}(\text{TJP})) @ t_{vpm})$$

$$\wedge (\neg \text{Reset}(m) \text{on}(t_{vib}, t]) (\neg \text{Jump}(K) \text{on}(t_{vib}, t_{vrb}))$$

$$\wedge (\neg \text{Jump}(K) \text{on}(t_{vrb}, t_{vmb})) \wedge (\neg \text{Jump}(K) \text{on}(t_{vmb}, t_{vpm}))$$

上述公式表示：如果 TVP 基于信任链构建 TJP 信任环境，则其启动过程一定是从 vTPM Builder 跳转到 vTPM-VM Binding，然后到 VM Builder，而在此期间不会有其他程序执行。这就需要证明上述程序启动序列与 PCR 值之间的一一映射关系。基于前文的假定前提，要证明的信任链本地信任属性如下。

定理 4.3 如果 TJP 加载成功，且与该 TJP 加载过程对应的 PCR 值为 $\text{seq}(\text{vTPM Builder}(\text{TJP}), \text{vTPM-VM Binding}(\text{TJP}), \text{VM Builder}(\text{TJP}))$ ，那么该 TJP 的本地信任链传递过程就是唯一的、正确的，即确定地从 vTPM Builder(TJP)到 vTPM-VM Binding(TJP)再到 VM Builder(TJP)。该信任属性形式化表示为

$$\text{ProtectedDRTM}(\text{TJP}) +$$

$$\text{Mem}(m.dpcr.d, \text{seq}(\text{vTPM Builder}(\text{TJP}),$$

$$\text{vTPM-VM Binding}(\text{TJP}), \text{VM Builder}(\text{TJP}))$$

$$\supset \text{MeasuredBoot}_{\text{DRTM}}(\text{TJP}, t)$$

证明过程类似 m 的信任链本地可信属性的证明，在此不再叙述。

4.3.3 信任链远程验证

TVP-QT 的 TJP 需要向外部挑战者证明自己所声称的信任属性，即其信任链传递过程中所执行程序的确切序列，使外部挑战者相信它的确按上述信任链构建了可信执行环境，需要证明 $\text{MeasuredBoot}_{\text{DRTM}}(\text{TJP}, t)$ 成立。

(1) 远程验证程序执行

首先，根据 TCG 远程证明协议规范及在虚拟化平台中的实现，给出 TJP 信

任传递的远程验证过程中涉及到的程序，如图 4.4 所示。

$TPM_{DRTM}(TJP)$	$\equiv w = \text{read } m.pcr.d;$ $r = \text{sign}(PCR(s), w), AIK^{-l}(m);$ $\text{send } r$
$Verifier(TJP)$	$\equiv sig = \text{recieve};$ $v = \text{verify } sig, AIK(m);$ $\text{match } v, (PCR(s),$ $seq(vTPM \text{ Builder}(TJP), vTPM-VM \text{ Binding}(TJP), VM \text{ Builder}(TJP))$

图 4.4 TVP-QT 中 m 信任传递的远程验证程序

首先，m 读取本地 TJP 的 PCR 值，用 AIK 签名 ($AIK^{-l}(m)$) 并将其发送给挑战者。然后，挑战者验证该签名，并用预期的度量值序列与收到的值进行对比，如果匹配，则表明该主机 m 的 TJP 拥有所声称的可信属性，否则验证失败。在此过程中远程验证者与 TJP 所属的主机 m 应是不同实体，以保证该验证过程的有效性。

这些前提条件形式化表示为

$$\Gamma_{DRTM} = \{\text{Honest}(AIK(m)), \hat{V} \neq AIK(m)\}$$

(2) 信任链属性的远程验证

根据远程证明协议执行流程，给出以下信任传递属性的远程证明目标。

定理 4.4 如果远程验证者确认 TJP 提供的度量值是唯一的、正确的，那么该 TJP 对应的 PCR 值一定是如下的确定序列 $seq(vTPM \text{ Builder}(TJP), vTPM-VM \text{ Binding}(TJP), VM \text{ Builder}(TJP))$ ，因为根据定理 4.3 可知，该序列表明该虚拟机的确执行了相应的信任链传递过程。

形式化表示为：

$$\begin{aligned} \Gamma_{DRTM} \vdash & [\text{Verifier}(m)]_V^{t_B \cdot t_E} \exists t. (t < t_e) \wedge \\ & (\text{Mem}(m.pcr.d, seq(vTPM \text{ Builder}(TJP), \\ & vTPM-VM \text{ Binding}(TJP), VM \text{ Builder}(TJP)) @ t) \end{aligned} \quad (16)$$

$$\begin{aligned} \Gamma_{DRTM}, \text{Protected}_{SRTM}(m) \\ \vdash & [\text{Verifier}(m)]_V^{t_B \cdot t_E} \exists t. (t < t_E) \wedge \\ & \text{MeasureBoot}_{DRTM}(m, t) \end{aligned} \quad (17)$$

证明过程类似 m 的信任链远程验证的证明，在此不再叙述。

4.4 本章小结

本章内容主要是利用安全系统逻辑形式化分析方法对 TVP-QT 信任链模型进行形式化分析。首先,介绍了主机 m 信任链构建本地执行的形式化表示,从程序执行的角度证明了主机 m 信任链模型的有效性;并且介绍了本地可信属性,如果 PCR 中度量值序列是正确的值,那么主机 m 信任链所加载的程序顺序就是正确的,并对其进行证明;然后结合远程验证,证明了从外部实体的角度上看,主机 m 的执行顺序也是可以信任的。然后用相同方法介绍了可信衔接点的本地验证和远程验证。

5 基于扩展无干扰理论的信任链分析方法

本文针对第 1 章中提到的目前无干扰理论中其没有考虑到云计算运行中时的安全域、动作所属主体以及动作对安全域和系统状态的影响进行详细的说明的问题，对目前无干扰理论中的基本定义进行扩展并定义非传递无干扰安全判定定理。

5.1 扩展无干扰理论基本假定及定义

遵从 Rushby 等人的描述，本文以自动机（或叫状态机）的形式，并在安全域、动作等对无干扰进行扩充，在动作主体、动作主体对安全域和系统状态的影响扩展到无干扰理论中，给出无干扰的基本定义如下。

定义 5.1 系统 M 由如下要素构成：

- （1）一个包含唯一初始状态 s_0 的状态集 S 。约定使用 \dots, s, t, \dots 等表示系统状态；
- （2）一个由系统中所有原子动作组成的动作集 A ，约定用 a, b, c, \dots 等表示原子动作；
- （3）一个由系统中所有发出原子动作的动作主体集 O ，每一个主体可能发出不同的动作，相同的动作也可能由不同的主体发出。即每一个属于 A 中的动作都有一个包含于 O 中的主体集。即动作 $a \in A$ 的主体集 $O_a \in O$ 。
- （4）一个由系统中所有行为构成的行为集 B 。其中，行为表达为原子动作序列的形式，约定用希腊字母 $\alpha, \beta, \gamma, \dots$ 等表示行为。一个行为的示例是 $\alpha = a_0 \circ \dots \circ a_m \circ \dots \circ a_n \in A^*$ ，其中 \circ 是连接符；

- （5）一个输出集 $()$ ，其中包含了使用动作 $a \in A$ 进行观察时所看到的结果；

- （6）每一个原子动作以及原子动作的主体都有自身所属的并且不可再分的 Min 安全域，这些安全域构成的集合称为 Min 安全域集 MD ；安全域中的主体向系统发出操作动作与系统进行交互，并且能够观察到相应的结果。安全域的划分可以限制系统中的信息流动。并且根据云计算环境运行机制，安全域集 MD 的某一子集也可能单独成为运行的一个组合安全域，这些由 MD 子集组成的组合安全域称为 CD （Combination – Domain），且 CD 中任意两个元素可能存在交集。即对于

$\forall CD_i \in CD, \forall CD_j \in CD$ ，有 $CD_i \cap CD_j = \emptyset$ 。且对应与系统状态，域也有相应的状态，用 DS 表示域状态集合，约定使用 ds_s^u, ds_t^u 分别表示安全域 u 的状态在系统状态为 s, t 本安全域状态，显然有

$$S = \dots ds_s^u \cap ds_t^u \dots \cap ds_s^v \cap ds_t^v \dots。$$

(7) 安全策略 $\sim>$ 和 $\not\sim>$ 。安全域集之间可以有信息流动，信息是否能够在特定域间流动由安全策略 $\sim>$ 和 $\not\sim>$ 决定， $\sim>$ 和 $\not\sim>$ 分别称为干扰和无干扰关系，两者互为补集；

(8) 动作主体到动作的映射函数： $own: A \rightarrow O$ 。 own 返回一个特点动作 a 所属的动作主体 $own(a)$ ；

(9) 安全域 MD 到动作的映射函数： $dom: A \rightarrow MD$ 。 dom 返回一个特定动作 a 所属的 Min 安全域 $dom(a)$ ，并且必然 $\exists CD_i \in CD$ ，使得 $dom(a) \subset CD_i$ 。

(10) 单步系统状态函数： $step: \frac{S \times A}{MD \times O} \rightarrow S$ 。单步函数描述的是系从前一个状态，由某一安全域 MD 某一动作主体执行某个动作之后，应该到达的后一个状态；在系统 s 存在安全域 u 中的主体 O_1 ，执行动作 a 之后，对系统的改变为 $step(\frac{s, a}{u, o_1})$ 。

同理，动作对动作所属安全域的改变单步域状态函数为 $stepd: \frac{ds \times A}{MD \times O} \rightarrow ds$ ，在安全域 u 在 ds_s^u 下的主体 O_1 ，执行动作 a 之后，对安全域 u 改变为 $stepd(\frac{ds_s^u, a}{u, o_1})$ 。

且单步状态函数满足以下条件：

$$\forall a, if: dom(a) \text{ 变化, } own(a) \text{ 变化, } step(\frac{s, a}{u, o}) = step(\frac{s, a}{dom(a), own(a)}) \text{ 也会变化。}$$

(11) 行为结果函数： $behcon: S \times A \rightarrow OP$ 。行为结果函数 $behcon$ (behavior .consequence) 给出了：在状态 $s \in S$ 使用特定的动作 $a \in A$ 所观察到的行为执行结果。

(12) 行为执行函数： $exec: S \times B \rightarrow S$ 。如果用 Λ 表示空动作序列，则 $exec$ 可

以表示为右递归的形式:

对于系统状态:

$$\begin{cases} exec(s, \Lambda) = s \\ exec(s, a \circ \alpha) = exec(step(\frac{s, a}{u, o}, \alpha), \exists u = dom(a), \exists o = own(a)) \end{cases}$$

对于安全域状态:

$$\begin{cases} exec(ds, \Lambda) = ds \\ exec(ds_s^u, a \circ \alpha) = exec(stepd(\frac{ds_s^u, a}{u, o}, \alpha), \exists u = dom(a), \exists o = own(a)) \end{cases}$$

需要强调的是, 无干扰模型将输入定义为行为, 也就是原子动作的连接序列。本文遵从原有的无干扰理论, 对系统进行描述。

定义 5.2 系统视图。

系统视图对应于实际机器 M , 其关注于存储单元(内外存单元、芯片存储单元等)及其取值, 以及可观察存储单元、可修改存储单元等内涵。

(1) 存储单元集 N 。机器的每一个存储单元都有一个名字。所有存储单元名字的集合构成存储单元集 N , 又叫做名字集 N 。

(2) 系统视图值集 V 。每一个存储单元 $n \in N$ 在特定的状态 $s \in S$ 都会有一个特定的值 $value \in V$ 。具体的取值可以由下面的内容函数计算。所有取值的集合构成值集 V 。

(3) 系统视图内容函数 $contents : S \times V \rightarrow V$ 。

定义 5.3 域视图。

域视图对应于 M 中的安全域 MD , 是 M 视图的子集。

对应于系统状态等相关内容函数, 域视图有以下表示:

(1) 域视图值集 DV 。安全域 u 中每一个存储单元 $n \in N$ 在特定的状态 $ds_s^u \in DS$ 都会有一个特定的值 $value \in DV^u$ 。具体的取值可以由下面的域视图内容函数计算。所有取值的集合构成值集 DV^u 。

(2) 域视图内容函数 $contentsd : DS \times DV \rightarrow DV$ 。

(3) 域视图观察函数 $observed : MD \rightarrow P(N)$ 和域视图修改函数

$alterd : MD \rightarrow P(N)$ 。观察函数和修改函数分别给出了特定的安全域 $u \in MD$ 所能观察和修改的存储单元的集合，其中 $P(N)$ 是幂集计算。

定义 5.4 主体视图。

(1) 在整个系统 M 中，域中有很多可以发出动作的主体，即

$$\forall g \in O, \exists u \subset MD, \text{ 使得 } g \in u.。$$

亦有 $\forall a \in A, \text{ 有 } own(a) \in dom(a).。$

仅次于安全域的单位为动作主体，动作主体对应系统中的存储单元在域不同状态下，由动作发出后，其存储单元也会改变。

主体视图值集 OV 。动作主体 g 每一个存储单元 $n \in N$ 在特定的状态下 $ds_s^u \in DS$ 都会有一个特定的值 $value \in OV^g$ ，其中有 $g \in u$ 。具体的取值可以由下面的主体视图内容函数计算。

(2) 主体视图内容函数 $contentso : DS \times OV \rightarrow OV$ 。

(3) 主体视图观察函数 $observeo : O \rightarrow P(N)$ 和主体视图函数 $altero : O \rightarrow P(N)$ 。

不同的主体能观察和修改的存储单元的集合不同。

定义 5.5 关系 \sim^u 称为是等价关系，当且仅当同时满足输出一一致性和（弱）单步一致性。

(1) 输出一一致性：。

在系统视图上： $s \sim^u t \supset behcon(s, a) = behcon(t, a)。$

并且由 $ds_s^u \in s, ds_t^u \in t$, 可得域视图的输出一一致性：

$$ds_s^u \sim^u ds_t^u \supset behcon(ds_s^u, a) = behcon(ds_t^u, a)。$$

(2) （弱）单步一致性：

对于传递安全策略，需满足单步一致性：

$$dom(a) \sim^> u \wedge s \sim^u \supset step\left(\frac{s, a}{u, o}\right) \sim^u step\left(\frac{t, a}{u, o}\right)。$$

对于非传递安全策略，需满足弱单步一致性：

$$dom(a) \sim_{\rightarrow} u \wedge s \stackrel{dom(a)}{\sim} t \wedge s \stackrel{u}{\sim} \supset step(\frac{s,a}{u,o}) \stackrel{u}{\sim} step(\frac{t,a}{u,o})。$$

与单步一致性相比，弱单步一致性增加了条件 $s \stackrel{dom(a)}{\sim} t$ ，这个条件很重要。这是因为：弱单步一致性对应的是非传递无干扰，因此其除了要考虑直接干扰关系之外，还要考虑间接干扰关系上的“单步一致性”。注意：本文中遵从 Rushby 的符号表达，约定使用表达蕴含关系。

定义 5.6 间接干扰关系 $\stackrel{\sim}{\sim}_{\rightarrow}$ 。

对于非传递安全策略 $u \sim_{\rightarrow} v_1 \wedge v_1 \sim_{\rightarrow} v_2 \wedge \dots \wedge v_n \sim_{\rightarrow} w \wedge u \not\sim_{\rightarrow} w$ 而言，安全域 u 虽然不能直接干扰安全域 w （因为 $u \not\sim_{\rightarrow} w$ ），但是，仍然可以间接对进行干扰(因为 $u \sim_{\rightarrow} v_1 \wedge v_1 \sim_{\rightarrow} v_2 \wedge \dots \wedge v_n \sim_{\rightarrow} w$)。若将定义 1 当中的干扰关系称作是“直接干扰关系”，则可以定义“间接干扰关系” $\stackrel{\sim}{\sim}_{\rightarrow}$ 如下：

$$\begin{aligned} u \stackrel{\sim}{\sim}_{\rightarrow} w: & \text{ iff} \\ & \exists v_1, v_2, \dots, v_n (n \geq 1). u \sim_{\rightarrow} v_1 \wedge \dots \wedge v_n \sim_{\rightarrow} w \wedge u \not\sim_{\rightarrow} w \end{aligned}$$

定义 5.7 干扰源集 $interfsrcs : B \times D \rightarrow P(D)$ 。

干扰源集的递归定义如下：

$$interfsrcs(\Lambda, w) = \{w\}, \text{ 且}$$

$$\begin{aligned} interfsrcs(a \circ \alpha, w) = & \\ \begin{cases} \mathcal{G}_1; & \text{ if } \exists v. v \in interfsrcs(\alpha, w) \supset dom(a) \sim_{\rightarrow} v \\ \mathcal{G}_2; & \text{ if } \exists v. v \in interfsrcs(\alpha, w) \supset dom(a) \sim v \end{cases} \end{aligned}$$

，且。其中 $\mathcal{G}_1 = \{dom(a)\} \cup interfsrcs(\alpha, w)$ ， $\mathcal{G}_2 = interfsrcs(\alpha, w)$ 。

干扰源集的含义是：抽取所有对安全域 w 有直接或间接干扰关系的安全域形成集合。

定义 5.8 弱预期函数 $wexpected : B \times D \rightarrow B$ 。

$$wexpected(\Lambda, w) = \Lambda, \text{ 且}$$

$$wexpected(a \circ \alpha, w) = \begin{cases} B_1; & \text{if } dom(a) \in interfsrcs(a \circ \alpha, w) \\ B_2; & \text{if } dom(a) \notin interfsrcs(a \circ \alpha, w) \end{cases}$$

其中, $B_1 = a \circ wexpected(\alpha, w)$,

$$B_2 = wexpected(\alpha, w) = \Lambda \circ wexpected(\alpha, w)。$$

弱预期函数 $wexpected$ 的含义是,“将所有对安全域有直接或间接的干扰关系的动作保留,并将除此以外的所有动作删除”,从而得到在非传递无干扰安全策略控制下的预期行为。

定义 5.9 域集等价关系 \approx^C : $s \approx^C t$ iff $\forall u \in C. s \sim^u t$ 。

并且 Rushby 定义了系统满足非传递性无干扰策略的判定定理。

定理 5.1 系统满足非传递性无干扰策略的判定定理。

设 M 是一个视图隔离的系统,有一个具有非传递性的 \sim -策略,并且 M 满足: 输出一致性、弱单步一致性和局部干扰性,则 M 满足非传递性无干扰策略。

5.2 TVP-QT 信任链传递形式化描述

本文基于扩展后的无干扰理论,对 TVP-QT 信任链模型进行形式化描述。由于扩展后的无干扰理论从系统主图、域视图、主体行为视图由一个整体系统向系统内的主体进行细分,本文针对 TVP-QT 信任链传递模型,从以下方面对信任链进行形式化描述。

定义 5.10 信任关系可以用以下二元关系表示: $\rightarrow \in MD \times MD$ (针对于安全域 MD 级), $\rightarrow \in CD \times CD$ (针对于组合安全域级), $\rightarrow \in O \times O$ (针对于动作主体级)。
 $\exists u, v \in MD$, 若 $u \rightarrow v$, 则表示域 u 对域 v 进行了可信度量,并且度量成功,域 u 对域 v 是信任的,然后进行控制权的转移。

首先,按照 Min 安全域 MD 的信任传递方式,可以表示以下式子:

$$MD_0 \rightarrow MD_1 \rightarrow \dots \rightarrow u \rightarrow \dots v \rightarrow \dots MD_{n-1} \rightarrow MD_n, u, v, MD_i \in MD$$

其中 MD_0 表示为可信虚拟平台的可信度量根: 即图 3.1 中 TPM 下的 CRTM。

按照组合安全域 CD 的信任链传递方式,可以表示为以下公式:

$$CD_1 \rightarrow CD_1 \rightarrow \dots \rightarrow \dots \rightarrow CD_{n-1} \rightarrow CD_n$$

基于可信计算技术的装载前度量技术实现的可信链可以这样形式化地描述：

$$\text{digest}(MD_i, MD_j) = \text{expect}(MD_j) \Rightarrow MD_i \rightarrow MD_j \Rightarrow \text{controlTrans}(MD_i \rightarrow MD_j) ;$$

表示如果由安全域 MD_i 通过摘要运算获得的 MD_j 摘要值与预期值 $\text{expect}(MD_j)$ 相等,则安全域 MD_i 信任组件 MD_j ,信任关系将由 MD_i 传递至 MD_j 系统控制权也转移到 MD_j 其中 $\text{digest}(A,B)$ 表示安全域 A 对安全域 B 进行摘要运算的结果, $\text{expect}(A)$ 表示组件 A 的完整性预期值, $\text{controlTrans}(A \rightarrow B)$ 表示控制权从 A 转移到 B。

同理对应组合域有：

$$\text{digest}(CD_i, CD_j) = \text{expect}(CD_j) \Rightarrow CD_i \rightarrow CD_j \Rightarrow \text{controlTrans}(CD_i \rightarrow CD_j)。$$

5.3 扩展无干扰信任传递判定定理

单纯的通过完整性验证实现的信任链传递是否有效无法进行验证。只有当系统具有特定的安全机制,满足一定的安全策略,组成系统的各安全域之间的信息流动受到一定安全策略限制,使得组件的运行不受干扰,这时,用完整性度量方法所建立的信任链才是有效的。非传递无干扰关系描述的是一种隔离性要求比较严格的通道控制安全策略,具有非传递无干扰关系的系统组件之间只有直接干扰关系,不存在间接造成的干扰关系。信任链传递模型关键之处是验证系统中是否满足非传递无干扰关系,但从非传递无干扰关系的定义出发很难进行验证,本文给出无干扰信任传递判定定理,用于判定可观测的系统状态和输出在满足什么条件时,信任链的建立和传递才是有效的。

下面本文分别从系统、安全域 (MD 和 CD)、动作主体三个角度对本文提出的信任链模型应该满足的安全策略进行描述和分析验证。其中,从系统角度描述系统符合的安全策略,则需要对安全域的输入和系统状态的论述。同理,从安全域角度描述安全策略,则需要对动作主体的输入和对系统状态的进行论述。

定理 5.2 TVP-QT 系统满足非传递无干扰关系的判定定理。

(1) 系统的域满足输出一致性。即一个内部操作动作造成的输出影响只依赖于发出动作域的系统视图。且满足一下条件：

$$\forall n \in \text{observe}(u). \text{contents}(s, n) = \text{contents}(t, n) \rightarrow s \sim^u t$$

(2) 相对于 (1)，系统的动作主体满足输出一致性。即一个安全域内的操作动作造成的输出影响只依赖于发出动作动作主体的系统视图。

$$\forall n \in \text{observe}(o_1). \text{contents}(ds_s^u, n) = \text{contents}(ds_t^u, n) \rightarrow ds_s^u \sim ds_t^u \rightarrow s \sim^u t ;$$

$$\exists o_1, \text{own}(o_1) = u \subset MD$$

(3) 系统中发生的一个动作造成的对系统状态影响只与发出该动作的域的上一个状态系统视图相关联。

$$\begin{aligned} & s \sim^{\text{dom}(a)} t \wedge (\text{contents}(\text{step}(\frac{s, a}{\text{dom}(a), \text{own}(a)}))) \neq \\ & \text{contents}(s, n) \vee \text{contents}(\text{step}(\frac{t, a}{\text{dom}(a), \text{own}(a)})) \neq \text{contents}(t, n) \rightarrow ; \\ & (\text{contents}(\text{step}(\frac{s, a}{\text{dom}(a), \text{own}(a)}))) = \text{contents}(\text{step}(\frac{t, a}{\text{dom}(a), \text{own}(a)})) \end{aligned}$$

$$\exists u \in MD, \text{dom}(a) = u;$$

$$\exists o_1 \in O, \text{own}(a) = o_1.$$

(4) 相对于 (3)，系统中发生的一个动作造成的对安全域状态影响只与发出该动作的动作主体的上一个状态系统视图相关联。

$$\begin{aligned} & ds_s^u \sim^{\text{own}(a)} ds_t^u \wedge \text{contentsd}(\text{step}(\frac{ds_s^u, a}{\text{dom}(a), \text{own}(a)})) \neq \\ & \text{contentsd}(ds_s^u, n) \vee \text{contentsd}(\text{step}(\frac{ds_t^u, a}{\text{dom}(a), \text{own}(a)})) \neq \text{contentsd}(ds_t^u, n) \rightarrow ; \\ & \text{contentsd}(\text{step}(\frac{ds_s^u, a}{\text{dom}(a), \text{own}(a)})) = \text{contentsd}(\text{step}(\frac{ds_t^u, a}{\text{dom}(a), \text{own}(a)})) \end{aligned}$$

(5) 系统中，如果一个动作改变了其动作主体的值，则发出该动作的主体一定可以写、访问该主体的系统视图，并且可以写、访问该动作所在的域的系统状态。

$$\text{contentso}(\text{step}(\frac{ds_s^u, a}{u, \text{own}(a)})) \neq \text{contentso}(ds_s^u, n) \rightarrow$$

$$\text{contentsd}(\text{step}(\frac{ds_s^u, a}{u, \text{own}(a)})) \neq \text{contentsd}(ds_s^u, n) \rightarrow$$

$$\text{contents}(\text{step}(\frac{s, a}{u, \text{own}(a)})) \neq \text{contents}(s, n) \rightarrow ;$$

$$n \in \text{altero}(\text{own}(a), ds_s^u) \rightarrow n \in \text{alterd}(\text{own}(a), ds_s^u) \\ \rightarrow n \in \text{alter}(u, s) = \text{alter}(\text{dom}(a), s)$$

$$\exists u \in MD, \text{dom}(a) = u;$$

$$\exists o_1 \in O, \text{own}(a) = o_1.$$

(6) 系统内对系统内的系统状态的操作有以下关系。

$$\exists n \in N, n \in \text{alter}(u, s) \wedge n \in \text{observe}(v, s) \rightarrow u \sim v.$$

(7) 系统内若发出某一动作，则该动作的动作主体，所属域唯一确定的。

$\forall a$ ，在系统状态 s ，必然存在 $\text{dom}(a)$ ， $\text{own}(a)$ ，可唯一确定 a 。

证明：

根据本文扩展无干扰给出的定理 5.1，系统需要满足输出一致性，单步一致性即可。

(1) 证明输出一致性：

需要证明：

$$\textcircled{1} ds_s^u \overset{o}{\sim} ds_t^u \wedge ds_s^u \overset{\text{own}(a)}{\sim} ds_s^u \rightarrow \text{step}(\frac{ds_s^u, a}{\text{dom}(a), \text{own}(a)}) \overset{o}{\sim} \text{step}(\frac{ds_t^u, a}{\text{dom}(a), \text{own}(a)})$$

$$\textcircled{2} s \overset{u}{\sim} t \wedge s \overset{\text{dom}(a)}{\sim} t \rightarrow \text{step}(\frac{s, a}{\text{dom}(a), \text{own}(a)}) \overset{u}{\sim} \text{step}(\frac{t, a}{\text{dom}(a), \text{own}(a)})$$

式②是在域状态下的单步一致性，是在式①动作主体在域状态的延伸，本文在此只证明式①。

$\forall n \in OV$ ，存在下式：

$$ds_s^u \overset{o}{\sim} ds_t^u \wedge ds_s^u \overset{\text{own}(a)}{\sim} ds_s^u \rightarrow$$

$$\text{contentso}(\text{step}(\frac{ds_s^u, a}{\text{dom}(a), \text{own}(a)}), n) \overset{o}{\sim} \text{contentso}(\text{step}(\frac{ds_t^u, a}{\text{dom}(a), \text{own}(a)}), n)$$

若 $\text{contentso}(\text{step}(\frac{ds_s^u, a}{\text{dom}(a), \text{own}(a)}), n) \neq \text{contentso}(ds_s^u, a)$ ，由定理 5.2 条件 (2) 可得：

$$\text{contentso}(\text{step}(\frac{ds_s^u, a}{\text{dom}(a), \text{own}(a)}), n) \neq \text{contentso}(\text{step}(\frac{ds_t^u, a}{\text{dom}(a), \text{own}(a)}), n) ;$$

若 $\text{contentso}(\text{step}(\frac{ds_t^u, a}{\text{dom}(a), \text{own}(a)}), n) \neq \text{contentso}(ds_t^u, a)$ ，由定理 5.2 条件 (2) 可得：

$$\text{contentso}(\text{step}(\frac{ds_s^u, a}{\text{dom}(a), \text{own}(a)}), n) \neq \text{contentso}(\text{step}(\frac{ds_t^u, a}{\text{dom}(a), \text{own}(a)}), n) ,$$

其他情况下：

$$\begin{aligned} \text{contentso}(\text{step}(\frac{ds_s^u, a}{\text{dom}(a), \text{own}(a)}), n) &= \text{contentso}(ds_s^u, n) \wedge \\ \text{contentso}(\text{step}(\frac{ds_t^u, a}{\text{dom}(a), \text{own}(a)}), n) &= \text{contentso}(ds_t^u, n) \end{aligned}$$

又由 $ds_s^u \sim^{own(a)} ds_t^u \rightarrow \text{contentso}(ds_s^u, n) = \text{contentso}(ds_t^u, n)$ 也可得

$$\text{contentso}(\text{step}(\frac{ds_s^u, a}{\text{dom}(a), \text{own}(a)}), n) \neq \text{contentso}(\text{step}(\frac{ds_t^u, a}{\text{dom}(a), \text{own}(a)}), n)$$

(2) 证明单步一致性：

即证明： $\text{dom}(a) \not\sim^u u \rightarrow s \sim^u \text{step}(s, a)$

亦可从其逆否命题证明：

$$\exists n \in V, \text{contents}(s, n) \neq \text{contents}(\text{step}(\frac{s, a}{\text{dom}(a), \text{own}(a)}), n) \rightarrow \text{dom}(a) \sim^u u .$$

由定理 5.3 条件 (3) 可得

$$\text{contents}(\text{step}(\frac{s, a}{\text{dom}(a), \text{own}(a)}), n) \neq \text{contents}(s, n) \rightarrow n \in \text{alter}(\text{dom}(a), s) ,$$

由定理 5.3，可得 $\text{dom}(a) \sim^u u$ 成立。

5.4 基于扩展无干扰的 TVP-QT 验证

本文基于开源的系统 Xen，结合本文第 3 章介绍的 TVP-QT 架构，利用虚拟隔离实现了一个满足非传递无干扰的系统。它将应用完全隔离，各应用之间不能直

接共享信息，所有隔离域之间的信息交换均通过虚拟机监视器进行。并在此系统下，验证了 TVP-QT 信任链是符合非传递无干扰判定定理。

如图 3.1 所示，从 TVP-QT 第一层到系统最上层存在着很多不同的组合安全域，比如 TPM 域、VMM 域等，并且针对系统中的可信衔接点 CJP 的不同组件是存在于不同的组合安全域中。由 CJP 存在域不同的安全域中可知本文对安全域 MD 和组合安全域 CD 的划分是正确的。并且 CJP 中的某一组件若发出动作，可能存在与 Dom0 域也有可能存在 vTPM Manager 域中。并且 Dom0 中的组件主体发出的某一动作可能会与信任链信息流传递时与 CJP 中发出的某一动作相同，但是在对信任链是无干扰的，验证了在系统上对动作发出主体的定义的有效性。

由于 TVP-QT 系统之上可以并行运行虚拟机，根据信息流的不同情况，本文对实际系统的无干扰验证分为两种情况进行验证。

（1）存在一个用户虚拟机

在此种情况下虚拟机运行在 VMM 之上，VMM 系统上的设备驱动模型由运行于虚拟机上的前端驱动和运行于 VMM 之上的后端驱动组成，实现对硬件功能的使用。该用户虚拟机在运行过程中产生的信息流可以从图中的顺序进行传递。若使该虚拟机信任链有效，必须确保系统中存在非预期的干扰。

依据定理 5.3，该系统中的 I/O 设备驱动程序满足如下要求：

由输出一致性的定义可知，该虚拟机使用的虚拟资源可以由 VMM 进行分配，并且不存在其他虚拟机无干扰的动作存在。由局部干扰性定义可知，VMM 系统中，虚拟 I/O 设备除其所在的虚拟机外其它虚拟机不能改变它的运行状态，I/O 设备驱动与虚拟设备间所传输的数据对其它虚拟机是不可见和不可修改的。该 VMM 系统的隔离机制确保虚拟机必须采用虚拟设备接口访问后端驱动程序。由弱单步一致性可知，该虚拟机在运行过程中的动作只会对此系统进行状态的改变。

（2）存在多个用户虚拟机

该情况下，在存在一个用户虚拟机之上在运行多个虚拟机，多个虚拟机需要共享设备资源，仅仅对在存在一个用户虚拟机下增加了虚拟机之间的信息流的无干扰情况。因此本文对多个虚拟机在系统中共享资源的同时进行无干扰的验证。

由输出一致性的定义可知，VMM 维护的虚拟资源必须具有其属于哪个虚拟机

的属性标识。可以保证系统中的输出信息可以定位到某一个虚拟机，此虚拟机的不同状态下产生的操作不干扰其他虚拟机的运行。由局部干扰性定义可知，VMM 系统中每个虚拟机能够访问的 I/O 寄存器被限制，能够禁止未授权的访问。由弱单步一致性定义可知，对于若干虚拟机共享的客体对象，VMM 系统必须具有同步保护机制以防止不同虚拟机对该资源的竞争。

综上，依据本文给出的 TVP-QT 信任传递模型，经过完整性验证，系统运行能够达到可信目标。

5.5 本章小结

本章按照云计算环境运行特征，对原有无干扰理论中的安全域、动作等定义进行扩充，并将动作主体和动作对安全域以及系统状态的影响等扩展到无干扰理论中；最后应用此扩展的无干扰理论来分析可信云环境信任链传递模型，用形式化的方法证明当符合非传递无干扰安全策略时，云环境安全域之间的信息流受到安全策略限制，隔离了域之间的干扰，满足此条件时用完整性度量方法所建立的云环境信任链才是可信的、有效的。最后利用无干扰理论对该信任链模型进行了分析和验证，证明了扩展后的无干扰理论验证信任链模型的有效性。

6 总结与展望

6.1 工作总结

本文对具有瀑布特征的可信虚拟平台及其信任链模型、信任链形式化分析方法进行研究。针对目前可信虚拟平台逻辑不合理、设计粒度过粗的问题，提出了一种具有瀑布特征的可信虚拟平台架构，该可信虚拟平台架构在层次上添加了可信衔接点层次，主要由虚拟机构建模块、虚拟可信平台模块构建模块、虚拟机和其虚拟可信平台模块绑定模块组成。当可信虚拟平台启动时，不仅可以以静态度量方式参与底层虚拟化平台的启动，也可以和虚拟可信模块共同作为虚拟机启动动态度量的虚拟可信根。并构建了其上的信任链模型。该模型以硬件 TPM 为起点，在底层虚拟化平台和顶层用户虚拟机信任链之间加入可信衔接点。当信任链从底层虚拟化平台传递到可信衔接点时，由可信衔接点负责对用户虚拟机的 vTPM 进行度量，之后将控制权交给 vTPM，由 vTPM 负责对用户虚拟机启动的组件及应用进行度量。该模型中可信衔接点具有承上启下的瀑布特征，能满足虚拟化环境的层次性和动态性特征，保证了整个可信虚拟平台的可信性。基于 Xen 的信任链构建的实验结果表明本信任链传递方法可以保证可信虚拟化环境在整个运行过程是安全可信的，基于安全系统逻辑形式化方法进行该信任链进行形式化分析，证明了该信任链的安全性。

此外基于扩展的无干扰理论形式化方法进行信任链形式化分析，针对目前的非传递无干扰理论均没有考虑到云计算运行中时的安全域、动作所属主体以及动作对安全域和系统状态的影响进行详细的说明，对无干扰理论在安全域动作所属主体等进行详细的扩展，并定义了云计算环境下的非传递无干扰安全定理，结合上述可信虚拟平台和信任链对无干扰进行了实例验证。

6.2 研究展望

本文对云计算环境下的可信虚拟平台及其信任链模型、形式化分析方法进行了略微的工作。但是本文的可信虚拟平台架构仅考虑到虚拟机作为服务的方式，目前的云计算出现了很多新型虚拟化技术，比如：容器技术、Unikernel等新型的虚拟化技术。如何针对这些新型的虚拟化技术进行可信平台构建也是下一步的研究方向。

并且本文在信任链构建过程中也是针对单个或少数虚拟机同时启动的情况下，没有对云计算环境中存在很多虚拟机的情况进行信任链构建进行分析；并且没有

对在信任链构建过程中如果存在虚拟机迁移的情况进行分析。因此针对虚拟机迁移及分布式虚拟机信任链构建机制也是下一步的研究方向。

此外，在基于扩展无干扰的形式分析过程中，本文选择了本文设计的可信虚拟平台及其信任链进行分析，如何针对其他及传统的信任链进行形式化分析也是可以研究的工作。

参考文献

- [1]. National Institute of Standards and Technology | NIST [EB/OL]. NIST. [2018-03-10].<https://www.nist.gov/>
- [2]. 柯文浚, 董碧丹, 高洋. 基于 Xen 的虚拟化访问控制研究综述[J]. 计算机科学, 2017, 44(s1):24-28.
- [3]. 石源, 张焕国, 赵波,等. 基于 SGX 的虚拟机动态迁移安全增强方法[J]. 通信学报, 2017, 38(9).
- [4]. 林闯, 苏文博, 孟坤, 刘渠, 刘卫东. 云计算安全: 架构、机制与模型评价[J]. 计算机学报, 2013, 09:1765-1784.
- [5]. 俞能海, 郝卓, 徐甲甲, 张卫明, 张驰. 云安全研究进展综述[J]. 电子学报, 2013, 02:371-381.
- [6]. Ali M, Khan S U, Vasilakos A V. Security in cloud computing :opportunities and challenges[J]. Information Science, 2015, 305:357-383.
- [7]. Zhao D, Mohamed M, Ludwig H. Locality-aware Scheduling for Containers in Cloud Computing[J]. IEEE Transactions on Cloud Computing, 2018, PP(99):1-1.
- [8]. Kumar P R, Raj P H, Jelciana P. Exploring Data Security Issues and Solutions in Cloud Computing[J]. Procedia Computer Science, 2018, 125:691-697.
- [9]. 胡俊, 沈昌祥, 公备. 可信计算 3.0 工程初步[J]. 网络与信息安全学报, 2017(8).
- [10]. 余发江, 陈列, 张焕国. 虚拟可信平台模块动态信任扩展方法[J]. 软件学报, 2017, 28(10):2782-2796.
- [11]. 谭良, 徐志伟. 基于可信计算平台的信任链传递研究进展[J]. 计算机科学, 2008, 10:15-18.
- [12]. 中国信通院-研究成果-权威发布-专题报告[EB/OL]. [2017-07-10]. 中国信息通信研究院. http://www.caict.ac.cn/kxyj/qwfb/ztbg/201709/t20170919_2208939.htm
- [13]. 工业和信息化部关于印发《云计算发展三年行动计划（2017-2019 年）》的通知[EB/OL]. [2017-04-10]. 中华人民共和国工业和信息化部 <http://www.miit.gov.cn/n1146295/n1146592/n3917132/n4062056/c5570298/content.html>
- [14]. McAfee: 2017 年全球云计算安全报告[EB/OL]. [2017]. <http://www.chinacloud.cn/show.aspx?id=25993&cid=29>
- [15]. 徐明迪, 张焕国, 张帆, 杨连嘉. 可信系统信任链研究综述[J]. 电子学报, 2014, 10:2024-2031
- [16]. BERGER S, CACERES R, GOLDMAN K A, et al. VTPM: virtualizing the trusted platform module[A]. Proc of the 15th USENIX Security Symposium[C]. Berkeley, USA, 2006. 305-320.
- [17]. Xensource, Xen Open-Source Hypervisor[EB/OL]. <https://www.citrix.com/downloads/xenserver/>, 2017.
- [18]. Data Storage, Converged, Cloud Computing, Data Protection | Dell EMC

- US[2018-03-10] Dell Inc. .<https://www.dell.com/en-us/index.htm>
- [19].Microsoft - Official Home Page [EB/OL].[2018-03-10]. Microsoft 2018. <https://www.microsoft.com/zh-cn/>
- [20].Garfinkel T, Pfaff B, Chow J, et al. Terra: a virtual machine-based platform for trusted computing[C]// Nineteenth ACM Symposium on Operating Systems Principles. ACM, 2003:193-206.
- [21].B. PFITZMANN, J. RIORDAN, C. STUBLE,et al. "The PERSEUS system architecture", Technical Report RZ 3335 (#93381), IBM Research Division, Zurich Laboratory, 2001.
- [22].CHRIS I D, DAVID P, WOLFGANG W, et al. Trusted virtual platforms: a key enabler for converged client devices[A]. Proc of the ACM SIGOPS Operating Systems Review[C]. New York, USA, 2009. 36-43.
- [23].BERGER S, RAMON C, DIMITRIOS P, et al. TVDc:managing security in the trusted virtual datacenter[A]. Proc of ACM SIGOPS Operating Systems Review[C]. New York, USA, 2008. 40-47.
- [24].KRAUTHEIM F J, DHANANJAV S P, ALAN T S. Introducing the trusted virtual environment module: a new mechanism for rooting trust in cloud computing[A]. Proc of the 3rd International Conference on Trust and Trustworthy Computing[C]. 2010.211-227.
- [25].王丽娜,高汉军,余荣威等.基于信任扩展的可信虚拟执行环境构建方法研究[J].通信学报, 2011, 32(9):1-8.
- [26].Zhang Lei , Chen Xingshu, Liu Liang , Jin Xin.Trusted domain hierarchical model based on noninterference theory[J].The Journal of China Universities of Posts and Telecommunications .August 2015, 22(4): 7-16.
- [27].常德显,冯登国,秦宇,张倩颖.基于扩展 LS2 的可信虚拟平台信任链分析[J].通信学报,2013,34(5):31-41.
- [28].Yu, Z., Zhang, W. & Dai, H. J A Trusted Architecture for Virtual Machines on Cloud Servers with Trusted Platform Module and Certificate Authority[J].Journal of Signal Processing Systems, 2017, Vol.86 (2-3), pp.327-336
- [29].池亚平,李欣,王艳,王慧丽. 基于 KVM 的可信虚拟化平台设计与实现[J]. 计算机工程与设计,2016,(06):1451-1455.
- [30].李海威,范博,李文锋. 一种可信虚拟平台构建方法的研究和改进[J]. 信息网络安全,2015,(01):1-5.
- [31].蔡谊,左晓栋. 面向虚拟化技术的可信计算平台研究[J]. 信息安全与通信保密,2013,(06):77-79.
- [32].徐天琦,刘淑芬,韩璐. 基于 KVM 的可信虚拟化架构模型[J]. 吉林大学学报(理学版),2014,(03):531-534.
- [33].杨丽芳,刘琳. 基于虚拟机的可信计算安全平台架构设计[J]. 煤炭技术,2014,(02):170-172.

- [34].蔡谊,左晓栋. 面向虚拟化技术的可信计算平台研究[J]. 信息安全与通信保密,2013,(06):77-79.
- [35].F. John Krauthem*, Dhananjay S. Phatak, and Alan T. Sherman,Introducing the Trusted Virtual Environment Module:A New Mechanism for Rooting Trust in Cloud Computing[C],TRUST 2010, LNCS 6101, 2010:211 – 227.
- [36].朱智强. 混合云服务安全若干理论与关键技术研究[D].武汉大学,2011.
- [37].曲文涛. 虚拟机系统的可信检测与度量[D].上海交通大学,2010.
- [38].CHEN S Y, WEN Y Y,ZHAO H. Formal analysis of secure bootstrap in trusted computing[A]. Proc of the 4th International Conference on Autonomic and Trusted Computing[C]. Berlin, Springer, 2007. 352-360.
- [39].张兴,黄强,沈昌祥.一种基于无干扰模型的信任链传递分析方法[J].计算机学报,2010,33(1):74-81.
- [40].Rushby J. Noninterference , transitivity , and channel-control security policies[M]. SRI International , Computer Science Laboratory , 1992
- [41]. Kai E, Meyden R V D, Zhang C. Intransitive noninterference in nondeterministic systems[C]// ACM Conference on Computer and Communications Security. ACM, 2012:869-880.
- [42]. Paolo Baldan, Alessandro Beggiato. Multilevel Transitive and Intransitive Non-interference, Causally[J]. Theoretical Computer Science, 2018, 706:54-82.
- [43].张兴,陈幼雷,沈昌祥.基于进程的无干扰可信模型[J].通信学报, 2009, 30(3):6-11
- [44].赵佳,沈昌祥,刘吉强,等.基于无干扰理论的可信链模型[J].计算机研究与发展, 200845(6):974-980
- [45].刘威鹏,张兴.基于非传递元干扰理论的二元多级安全模型研究[J].通信学报, 2009, 30(2):52-58
- [46].陈菊,谭良.一个基于进程保护的可信终端模型[J].计算机科学, 2011, 38(4):115-117
- [47].徐甫.支持进程代码修改的非传递元干扰可信模型[J].计算机工程, 2013, 39(11):150-153, 168
- [48].秦晰,常朝稳,沈昌祥,等.容忍非信任组件的可信终端模型研究[J].电子学报, 2011, 39(4):934-939
- [49].Smith, Jim, Nair, et al. Virtual Machines: Versatile Platforms for Systems and Processes (The Morgan Kaufmann Series in Computer Architecture and Design)[J]. 2005.
- [50].Adams K, Agesen O. A comparison of software and hardware techniques for x86 virtualization[J]. Acm Sigops Operating Systems Review, 2006, 40(5):2-13.
- [51].Get Docker | Docker [EB/OL].[2018-03-10].<https://www.docker.com/get-docker>
- [52].KVM project[EB/OL], <http://www.linux-kvm.org/>, 2017

- [53]. Goguen J A, Meseguer J. Security Policies and Security Models.[C]// IEEE Symposium on Security & Privacy. DBLP, 1982:11-20.
- [54].Datta A, Franklin J, Garg D, et al. A Logic of Secure Systems and its Application to Trusted Computing[J]. 2009:221-236.
- [55].GILLES B, GUSTAVO B, JUAN D C, et al. Formally verifying isolation and availability in an idealized model of virtualization[A]. Proc of the 17th International Conference on Formal Methods[C]. Berlin, Springer, 2011.231-245.
- [56].WANG Zhi, JIANG Xu- xian. HyperSafe:a lightweight approach to provide lifetime hypervisor control- flow integrity[C]/ Proc of IEEE Sym-posium on Security and Privacy. Washington DC:IEEE Computer Society, 2010:380-395.
- [57].JONATHAN M M, NING Q, LI Y L, et al. TrustVisor: efficient TCB reduction and attestation[A]. Proc of the IEEE Symposium on Security and Privacy[C]. Oakland, USA, 2010. 143-158.
- [58].Mozilla Firefox Ltd.[EB/OL] <http://www.firefox.com.cn/download/>.2017
- [59].CodeWeavers Inc.[EB/OL]<https://www.winehq.org/>.2017
- [60].Kingsoft Office Corporation.[EB/OL]<http://linux.wps.cn/>.2017
- [61].The Eclipse Foundation.[EB/OL]<https://www.eclipse.org/downloads/>.

致谢

首先我要感谢我的导师谭良老师，在我从一个非计算机专业转到计算机领域中信息安全专业的过程中，谭老师一步步的指导我进行科研，从开始的专业技术学习、研究方向选择、硕士论文的写作和完成，谭老师都非常仔细严谨。在我的研究生生涯，谭老师无论自己的工作多么忙碌，都会抽时间来指导我进行科研工作。谭老师对科研的热爱、最新研究方向的洞察力及严谨的科研态度都是我以后无论在工作上还是生活中值得学习的。并且，在科研指导之外，谭老师经常教导我做人的道理，在生活和学习出现阻力时，我都会想到谭老师的一句话“作为我的研究生，技术上需要有一技之长，毕业以后需要有独当一面的能力”。在我的研究生生涯即将结束时，我十分感谢谭老师对我的指导和帮助，感谢他为我以及我的师兄弟们付出的努力和心血，谢谢您。

感谢四川师范大学，感谢为四川师范大学建设付出努力的领导们。四川师范大学的图书馆资源、校园环境、实验室、研究生宿舍，丰富多彩的学术活动、知识讲座，都为我的科研和生活增添了独特的色彩，使我能够把更多的学习精力放在科研上。

感谢在研究生期间对我进行过指导的计算机科学学院的老师们，感谢李晓宁老师、黎静辅导员，感谢在研究生期间的任课老师，是你们的用心指导和辛苦付出才能让我一点点积累专业技能和生活经验。感谢同样跟随谭老师进行学习的师兄师弟，感谢研究生实验室的同学们，是你们的帮助才能让我在平时的科研多出了更多时间来阅读文献和科研实验。感谢参考文献的作者们，是你们的富有深度的科研成果让我对可信计算、云计算、信息安全领域更加深入。

同时感谢我的家人，感谢我的爱人孟胜杰女士，以及我的儿子齐孟子，是你们的支持和默默鼓励才能让我在研究生期间能够专注科研和学习。希望在以后的生活中，本文同舟共济的向未来前行。

感谢在百忙中抽出时间对我的论文进行审阅的各位老师。

再此感谢所有人，在以后的生活中，我会用更多的时间去帮助其他需要帮助的人。

硕士期间科研成果和项目

论文录用情况:

- [1]. 齐能,谭良. 具有瀑布特征的可信虚拟平台信任链模型[J]. 计算机应用, 2018,38(2): 327-336.
- [2]. 齐能,谭良. 一种具有瀑布特征的可信虚拟平台信任链模型. CTCIS2017

参与的科研项目:

- [1]. 国家自然科学基金项目: 可信平台模块虚拟化问题研究. 编号: 61373162.
- [2]. 国家自然科学基金项目: 低碰撞区跳频序列在高动态无线通信网络中的应用研究. 编号: 61701331.